



Gutachten zu Risiken durch Eiswurf/Eisfall und Bauteilversagen am Standort Krinitz Steesow IV

Referenz-Nummer:

2023-B-001-P4-R0 - ungekürzte Fassung

Auftraggeber:

SAB Projektentwicklung GmbH & Co. KG
Berliner Platz 1, 25524 Itzehoe

Die Ausarbeitung des Gutachtens erfolgte durch:

Fluid & Energy Engineering GmbH & Co. KG
Borsteler Chaussee 178, 22453 Hamburg, www.f2e.de

Verfasser:

M.Sc. Rebecca Bode, Sachverständige,

Hamburg, 18.04.2023

Gepprüft:

Dr.-Ing. Thomas Hahm, Sachverständiger,

Hamburg, 18.04.2023

Für weitere Auskünfte:

Tel.: 040 53303680

Fax: 040 53303680-79

Rebecca Bode: bode@f2e.de oder Dr. Thomas Hahm: hahm@f2e.de

Urheber- und Nutzungsrecht:

Urheber des Gutachtens ist die Fluid & Energy Engineering GmbH & Co. KG. Der Auftraggeber erwirbt ein einfaches Nutzungsrecht entsprechend dem Gesetz über Urheberrecht und verwandte Schutzrechte (UrhG). Das Nutzungsrecht kann nur mit Zustimmung des Urhebers übertragen werden. Veröffentlichung und Bereitstellung zum uneingeschränkten Download in elektronischen Medien sind verboten. Eine Einsichtnahme der gekürzten Fassung des Gutachtens gemäß UVPG §23 (2) über die zentralen Internetportale von Bund und Ländern gemäß UVPG §20 Absatz (1) wird gestattet.



Inhaltsverzeichnis

1	Aufgabenstellung.....	3
2	Grundlagen.....	4
2.1	Vereisung.....	4
2.2	Regelungen in den Normen zum Eiswurf- / Eisfallrisiko.....	5
2.3	Eintrittshäufigkeiten und potentielle Gefährdungsbereiche für Bauteilversagen.....	7
2.4	Berechnung der Flugbahnen von Eisstücken.....	8
2.5	Vereisungshäufigkeiten.....	9
2.6	Berechnung der Flugbahn von Blattbruchstücken.....	11
2.7	Berechnung der Auftreffhäufigkeit nach Turmversagen.....	13
2.8	Grenzwerte und Risikobewertung.....	13
2.8.1	Grenzwerte individuelles Risiko.....	13
2.8.2	Grenzwerte kollektives Risiko.....	15
2.8.3	Grenzwerte kollektives Risiko für Ereignisse mit einer hohen Anzahl Todesfälle.....	16
2.8.4	Risikobewertung.....	16
2.8.5	Risikomindernde Maßnahmen.....	21
2.8.6	Addition von Risiken.....	23
2.9	Gültigkeit der Ergebnisse.....	24
2.10	Systeme zur Prävention und Enteisung.....	25
2.11	Verwendete Begriffe und Symbole.....	26
3	Eingangsdaten.....	27
3.1	Windparkkonfiguration und Schutzobjekte.....	27
3.2	Winddaten am Standort.....	27
3.3	Windparkkonfiguration und Schutzobjekte.....	28
3.4	Aufenthaltshäufigkeiten.....	32
3.5	Vereisungsrelevante WEA-Systeme.....	33
3.5.1	WEA-interne Eiserkennungssysteme.....	33
3.5.2	Optionale Eiserkennungssysteme.....	33
3.5.3	Systeme zur Prävention und Enteisung.....	33
3.5.4	Betriebsführungssystem.....	33
3.6	Risikoreduzierende Maßnahmen.....	34
4	Durchgeführte Untersuchungen.....	34
4.1	Standortbesichtigung.....	34
4.2	Vereisungsbedingungen am Standort.....	34
4.3	Ermittlung der Gefährdungsbereiche.....	35
4.4	Betrachtung der Einzelrisiken.....	36
4.4.1	Bauteilversagen.....	36
4.4.2	Eiswurf.....	37
4.4.3	Eisfall.....	37
4.5	Bewertung des Gesamtrisikos.....	37
5	Weitere Maßnahmen.....	39
6	Zusammenfassung.....	39
7	Formelzeichen und Abkürzungen.....	42
8	Literaturangaben.....	42
	Anhang A: Detaillierte Berechnungsergebnisse Bauteilversagen.....	45



A.1 Berechnung der Auftreffhäufigkeiten von Blattbruchstücken.....	45
A.2 Schadenshäufigkeiten.....	46
Anhang B: Detaillierte Berechnungsergebnisse Eiswurf.....	49
B.1 Berechnung der Auftreffhäufigkeiten.....	49
B.2 Schadenshäufigkeiten.....	50
Anhang C: Detaillierte Berechnungsergebnisse Eisfall.....	51
C.1 Berechnung der Auftreffhäufigkeiten.....	51
C.2 Schadenshäufigkeiten.....	52

1 Aufgabenstellung

Die Fluid & Energy Engineering GmbH & Co. KG ist beauftragt worden, die vorliegende Windparkkonfiguration hinsichtlich einer Gefährdung durch Eiswurf/Eisfall und Bauteilversagen ausgehend von sich in Betrieb befindlichen bzw. stillstehenden (trudelnden) Windenergieanlagen (WEA) zu betrachten. Weiterhin wird eine Gefährdung durch Rotorblattbruch, Turmversagen und Verlust der Gondel bzw. des Rotors an den WEA betrachtet.

Die Bewertung erfolgt auf Basis des Gesamtrisikos durch Eiswurf/Eisfall und Bauteilversagen.



2 Grundlagen

2.1 Vereisung

Abhängig von den Vereisungsbedingungen kann es auf dem Rotorblatt einer WEA zu starken Vereisungen kommen, in deren Folge eine Gefahr durch sich lösende bis zu mehreren Kilogramm schwere Eisstücke besteht.

Während des Betriebes der WEA erfahren diese Eisstücke einen deutlichen Anfangsimpuls durch das schnell rotierende Blatt. In diesem Fall wird daher von Eiswurf gesprochen. Während des Stillstandes der WEA trudelt diese mit deutlich niedrigeren Drehzahlen. In diesem Fall wird daher von Eisfall gesprochen. In beiden Fällen (Eiswurf und Eisfall) wirken auf die abgelösten Eisstücke durch den Wind weitere Kräfte. Bei Sturm und auch entlang eines abfallenden Geländes können so nennenswerte Flugweiten erreicht werden.

Vereisung tritt ein, wenn entweder unterkühlte Wassertropfen auf das Rotorblatt aufschlagen oder die Oberflächentemperatur des Rotorblattes unterhalb des Reifpunktes liegt und Wasserdampf auf der Oberfläche in Form von Reif sublimiert.

Im Temperaturbereich von ca. 0° bis -10°C bildet sich aus den Wassertropfen beim Auftreffen auf das Rotorblatt Eis. Bis etwa -4°C kommt es dabei aufgrund der verzögerten Eisbildung zu großflächiger Klareisbildung. Bei niedrigeren Temperaturen dominiert hingegen die Raueisbildung, mit geringer Haftoberfläche und einem milchigeren und raueren Erscheinungsbild.

Unterhalb von -10°C können sich größere Ablagerungen von Raureif an den Profilkanten bilden. Der sich bei noch kälteren Temperaturen bildende Reif bildet typischerweise keine größeren Ablagerungen und spielt hinsichtlich einer Gefährdung durch Eisfall oder Eiswurf keine Rolle.

Grundsätzlich sollten bei der Gefährdung durch Eisfall bzw. Eiswurf daher zwischen großflächigen Eisplatten, die sich über einen großen Bereich der Profiltiefe ausbilden können, und schlankeren Eisstücken, die von der Profilkante abbrechen, unterschieden werden. Hinweise zu Form und Masse von Eisstücken finden sich z.B. in / 1.1/.

Aufgrund der extrem hohen Variabilität der Vereisungstage von Jahr zu Jahr werden langjährige Messungen benötigt, die möglichst auf einen klimatologischen Zeitraum, also 30 Jahre, zu beziehen sind /2.1/. Derart langjährige Messungen oder Beobachtungen liegen in Deutschland z.B. in Bodennähe für die Klimastationen des Deutschen Wetterdienstes DWD vor. Messungen in Bodennähe unterliegen jedoch starken mikroskaligen Einflüssen, so dass sie bezüglich einer Vereisung schon wenige



hundert Meter entfernt nicht mehr aussagekräftig sein können, wenn sich dort z.B. aufgrund einer lokalen Senke kalte Luft sammelt. Diese mikroskaligen Effekte, die auf Nabenhöhe der Windenergieanlagen typischerweise keine Rolle mehr spielen, zu identifizieren und entsprechend zu korrigieren ist so gut wie nicht möglich. Hinzu kommt, dass die Daten der Klimastationen oft über mehr als 10km und auf andere Höhen über Meeressniveau übertragen werden müssen, so dass die Unsicherheiten in der Vorhersage der Vereisungstage nach dieser Methode insgesamt sehr groß sind.

Eine weitere mögliche Quelle stellen großflächige Vereisungskarten dar, wie sie z.B. in /1.1/ und /1.2/ dargestellt sind. Diese Karten liefern jedoch nur Hinweise und Tendenzen. In /1.2/ wird darauf hingewiesen, dass im Gegensatz zu den in den großflächigen Karten dargestellten Werten, die tatsächlichen Werte schon auf kurzen Distanzen stark schwanken können und die lokale Geländetopografie berücksichtigt werden sollte. Die daraus entstehenden Unterschiede in der Einschätzung der Vereisungstage können extrem groß sein, so dass diese Karten selbst zur Plausibilisierung lokaler Vereisungsdaten nur sehr bedingt geeignet sind.

Für Deutschland liegt mittlerweile eine hochaufgelöste Vereisungskarte des DWD vor, die die lokale Topografie berücksichtigt /1.8/. Sie stellt vor dem Hintergrund der dargestellten Zusammenhänge die zurzeit beste Datengrundlage zur Ermittlung der Vereisungstage für Standorte in Deutschland dar.

2.2 Regelungen in den Normen zum Eiswurf- / Eisfallrisiko

In /1.1/ findet sich für Regionen mit einer hohen Vereisungshäufigkeit die Empfehlung, einen Mindestabstand von $1,5 \cdot (\text{Nabenhöhe} + \text{Rotordurchmesser})$ zu gefährdeten Bereichen einzuhalten oder die Windenergieanlage bei Vereisungsbedingungen abzuschalten.

Der vorgeschlagene Mindestabstand von $1,5 \cdot (\text{Nabenhöhe} + \text{Rotordurchmesser})$ fand in Deutschland Eingang in die Muster-Liste der technischen Baubestimmungen bzw. die Muster-Verwaltungsvorschrift Technischen Baubestimmungen /2.2/. Dort heißt es in der Anlage zur Richtlinie für Windenergieanlagen:

„Abstände zu Verkehrswegen und Gebäuden sind unbeschadet der Anforderungen aus anderen Rechtsbereichen wegen der Gefahr des Eisabwurfs einzuhalten, soweit eine Gefährdung der öffentlichen Sicherheit nicht auszuschließen ist. Abstände größer als $1,5 \times (\text{Rotordurchmesser} + \text{Nabenhöhe})$ gelten im Allgemeinen in nicht besonders eisgefährdeten Regionen als ausreichend. In anderen Fällen ist die Stellungnahme eines Sachverständigen erforderlich.“

Soweit dieser Mindestabstand nicht eingehalten wird bzw. der Standort der Wind-



energieanlage in einer besonders eisgefährdeten Region liegt und der Mindestabstand daher keine Anwendung finden kann, ist also das Risiko durch Eiswurf standortspezifisch zu bewerten.

Weiterhin wird in /2.2/ ausgeführt, dass die gutachterliche Stellungnahme eines Sachverständigen zur Funktionssicherheit von Einrichtungen vorzulegen ist, durch die der Betrieb der Windenergieanlage bei Eisansatz sicher ausgeschlossen werden kann oder durch die ein Eisansatz verhindert werden kann. Dies hat immer dann zu erfolgen, wenn erforderliche Abstände wegen der Gefahr des Eisabwurfes nicht eingehalten werden.

Die gutachterliche Stellungnahme zur Funktionssicherheit von Einrichtungen zur Eiserkennung ist im Gegensatz zur gutachterlichen Stellungnahme bei Unterschreitung des in der Muster-Liste genannten Mindestabstandes von $1,5 \cdot (\text{Nabenhöhe} + \text{Rotordurchmesser})$ kein standortspezifischer Nachweis, sondern ein entweder vom Hersteller des Eiserkennungssystems bzw. für die Implementierung in eine spezifische Windenergieanlage vom Hersteller der Windenergieanlage einmalig für den jeweiligen Typ in Auftrag gegebenes Gutachten. Diese Systeme schließen damit den Betrieb bei potentiell gefährlichem Eisansatz aus, können aber nicht grundsätzlich Eisansatz verhindern. Das für eine Verhinderung des Eisansatzes in /2.2/ genannte Beispiel einer Rotorblattheizung ist an dieser Stelle typischerweise nicht als Sicherheitssystem konzipiert. Der Betrieb einer Rotorblattheizung wird daher durch einzelne Hersteller für Standorte, in deren Umgebung eventuell durch Eiswurf eine erhebliche Gefährdung besteht, sogar ausgeschlossen.

Damit ergibt sich die Situation, dass auch bei einem vorhandenen System zur Eiserkennung mit Eisfall (Ablösen von Eisstücken von der stillstehenden bzw. trudelnden Windenergieanlage) zu rechnen ist und damit auch in diesen Fällen bei Unterschreitung des Mindestabstandes von $1,5 \cdot (\text{Nabenhöhe} + \text{Rotordurchmesser})$ eine standortspezifische Bewertung des Risikos erfolgen sollte.

Der in der Abbildung 2.2.1 dargestellte Entscheidungsbaum für die Bewertung des Risikos durch Eiswurf und Eisfall fasst dies noch einmal zusammen.

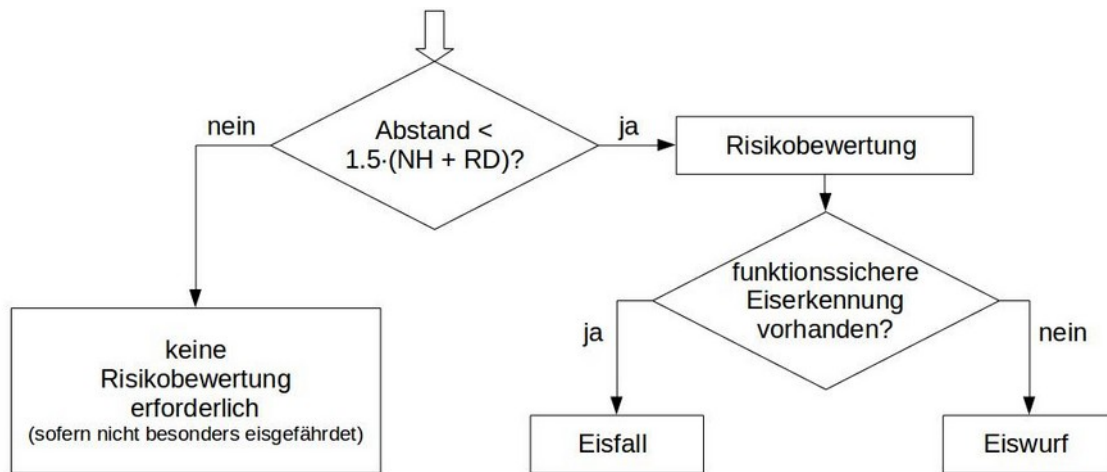


Abbildung 2.2.1: Entscheidungsbaum für die Bewertung des Risikos durch Eiswurf und Eisfall.

Auf internationaler Ebene wurden durch die International Energy Agency (IEA) Empfehlungen für die Risikobewertung von Eisfall und Eiswurf erarbeitet /2.1/. Neben der Risikobewertung beschäftigen sich die Empfehlungen der IEA auch mit der mathematischen Modellierung und den eingehenden Randbedingungen. Die Empfehlungen der IEA /2.1/ werden im Folgenden berücksichtigt.

2.3 Eintrittshäufigkeiten und potentielle Gefährdungsbereiche für Bauteilversagen

Die Eintrittshäufigkeiten für die Schadensfälle Rotorblattbruch, Turmversagen und Verlust der Gondel bzw. des Rotors werden typischerweise auf Basis bekannter Schadenereignisse eingeschätzt. Umfassende Untersuchungen hierzu finden sich z.B. in / 1.11/. Hier werden folgende Versagenshäufigkeiten pro WEA pro Jahr genannt:

Tabelle 2.3.1: Versagenshäufigkeiten an WEA pro Anlage und Jahr sowie gemeldete und bestätigte Wurfweiten nach /1.11/.

Anlagenteil	Versagenshäufigkeiten pro WEA pro Jahr		Maximale Wurfweite
	Erwartungswert	Erwartungswert zuzüglich Sicherheitszuschlag	
Ganzes Blatt	$6.3 \cdot 10^{-4}$	$8.4 \cdot 10^{-4}$	150m
Turm	$5.8 \cdot 10^{-5}$	$1.3 \cdot 10^{-4}$	Gesamthöhe der WEA
Gondel oder Rotor	$1.8 \cdot 10^{-5}$	$4.0 \cdot 10^{-5}$	Rotorradius



Die Erwartungswerte zuzüglich des Sicherheitszuschlages werden im Folgenden als Eintrittshäufigkeiten zugrunde gelegt.

Die potentiellen Gefährdungsbereiche durch Bauteilversagen ergeben sich aus den in Tabelle 2.1.1 aufgeführten maximalen Wurfweiten. Der potentielle Gefährdungsbereich ist dabei als der Bereich definiert, innerhalb dessen ein im Hinblick auf die Risikobewertung relevantes Risiko bestehen kann.

Für unterirdisch verlegte Objekte wird als Gefährdungsbereich für Turmversagen die Nabenhöhe samt Gondel zugrundegelegt. Es wird davon ausgegangen, dass am havarierten Turm verbliebene Blattteile keine relevante Gefahr für unterirdische Objekte darstellen und die hauptsächliche Gefährdung durch den Aufprall von Turm und Gondel verursacht wird.

Wurfweiten für Blattbruchstücke erreichen deutlich größere Werte als die in /1.3/ angegebene und in Tabelle 2.1.1 aufgeführte Wurfweite für das ganze Blatt. Als potentieller Gefährdungsbereich für Blattbruch kann hier in guter Näherung der potentielle Gefahrenbereich für Eiswurf vom 1.5fachen der Summe aus Nabenhöhe und Rotordurchmesser angenommen werden.

Außerhalb des potentiellen Gefährdungsbereiches sinkt das Risiko in der Regel nicht auf Null, da es zu sehr seltenen Ereignissen kommen kann, bei denen z.B. die Flugweite einzelner Blattbruchstücke den potentiellen Gefährdungsbereich übersteigt. Das Risiko durch solche Ereignisse ist aber im Allgemeinen als vernachlässigbar anzusehen.

Im Gegensatz zum potentiellen Gefährdungsbereich, der zur Festlegung der zu betrachtenden WEA und Schutzobjekte dient, ergibt sich der standortspezifische Gefährdungsbereich aus der standortspezifischen Berechnung der Auftreffpunkte der Bruchstücke. Auch hier gilt, dass außerhalb des standortspezifischen Gefährdungsbereiches das Risiko in der Regel nicht Null beträgt, aber im Allgemeinen als vernachlässigbar anzusehen ist.

Eine mögliche Ursache für ein Umstürzen der WEA, einen Absturz des Rotors, einen Absturz der Gondel oder den Verlust des ganzen bzw. Teilen eines Rotorblattes ist ein Brand der WEA. Das durch einen Brand hierdurch verursachte Risiko ist daher in der Risikobetrachtung für das Bauteilversagen enthalten und mit abgedeckt.

2.4 Berechnung der Flugbahnen von Eisstücken

Für die Berechnung der Flugbahnen der Eisstücke wird basierend auf den Luftwiderstandsbeiwerten, der Geometrie und der Masse der Eisstücke die Lage des Eisstückes während der gesamten Bewegung erfasst und verfolgt, so dass sich im Vergleich zu



einer rein ballistischen Flugbahn ein realistischeres Bild der Flugweiten ergibt und auch solche Flugbahnen erfasst werden, bei denen im Einzelfall aufgrund von Auftriebskräften am Eisstück sehr hohe Flugweiten erreicht werden.

Im Rahmen einer Monte-Carlo-Simulation werden dabei folgende Größen zufällig im Rahmen der am Standort zu erwartenden Wahrscheinlichkeitsverteilung variiert:

- Windgeschwindigkeit auf Nabenhöhe,
- Windrichtung,
- Position des Eisstückes auf dem Blatt,
- Geometrie und Dichte des Eisstückes,
- Drehzahl und Stellung des Rotors im Moment der Ablösung des Eisstückes.

Für das Geländemodell in der Umgebung der WEA werden Daten aus /1.5/ berücksichtigt. Eine eventuell vorhandene Schutzwirkung durch Bewuchs oder Gebäude wird dabei vernachlässigt.

Das Berechnungsmodell wurde im Rahmen der Entwicklung der IEA Recommendations /2.1/ anhand von Messkampagnen in realen Windparks validiert.

2.5 Vereisungshäufigkeiten

Datengrundlage für die Bewertung der Vereisungshäufigkeit bildet die Vereisungskarte des Deutschen Wetterdienstes /1.8/. Für die Bestimmung der Häufigkeit atmosphärischer Vereisung wurden hierzu in /1.8/ verschiedene Wetter-Meldungen ausgewertet:

- Allgemeine Wetterereignisse:
 - leichter, mäßiger oder starker gefrierender Regen,
 - leichter, mäßiger oder starker gefrierender Sprühregen,
 - leichter, mäßiger oder starker Schneeregen,
 - Eiskörner (gefrorene Regentropfen),
 - Nebel mit Reifansatz
- Wetterereignisse bei Temperaturen $\leq 0^\circ$ Celsius:
 - durchgehender oder unterbrochener leichter, mäßiger oder starker Sprühregen,
 - leichter, mäßiger oder starker Sprühregen mit Regen,
 - durchgehender oder unterbrochener leichter, mäßiger oder starker Regen,
 - Nebel oder Nebel mit Reifansatz



- Wetterereignisse bei Temperaturen $> 0^{\circ}$ Celsius:
 - durchgehender oder unterbrochener leichter, mäßiger oder starker Schneefall,
 - leichter, mäßiger oder starker Schneeregen- oder Schneeschauer,
- Wetterereignisse der letzten Stunde aber nicht zur Beobachtungszeit:
 - Schneefall,
 - Schneeregen oder Eiskörner,
 - gefrierender Regen,
 - Schneeschauer bei Temperaturen $> 0^{\circ}$ Celsius,
 - Nebel bei Temperaturen $\leq 0^{\circ}$ Celsius.

Damit werden eine Vielzahl von Ereignissen erfasst, die nicht in allen Fällen zu einer signifikanten Vereisung bzw. in einigen Fällen zu keiner Vereisung der WEA führen. Gleichzeitig beziehen sich die Meldungen auf Beobachterhöhe und nicht auf die Nabenhöhe der WEA. Es wurden daher Vergleiche mit verschiedenen Klimastationen des Deutschen Wetterdienstes durchgeführt. Hierzu wurden langjährige (30 Jahre) Messreihen zum Tagesmittel der relativen Luftfeuchte und der Lufttemperatur ausgewertet, um die Vereisungshäufigkeit auf Nabenhöhe zu bestimmen. Der Vergleich zeigt, dass die in /1.8/ auf Beobachterhöhe ermittelten Vereisungshäufigkeiten konservativere Ergebnisse liefern. Eine Umrechnung auf Nabenhöhe der WEA ist daher unter Berücksichtigung der in /1.8/ betrachteten Ereignisse nicht erforderlich.

Gemäß /1.8/ sind für Standorte in großen Höhen besondere Betrachtungen erforderlich, wenn diese besonders exponiert oder besonders geschützt liegen. Entsprechende Orte wurden in /1.8/ daher gefiltert. Die niedrigste betroffene Höhe liegt bei ca. 700m üNN, so dass das hier verwendete Verfahren im Folgenden für Orte bis zu einer Höhe von 700m üNN ohne Korrekturen angewendet wird. In diesem Höhenbereich weist die in /1.8/ verwendete exponentielle Regression eine gute Annäherung an die Daten auf und wird daher hier verwendet. Abbildung 2.5.1 zeigt die hierauf beruhende Vereisungskarte für Deutschland.

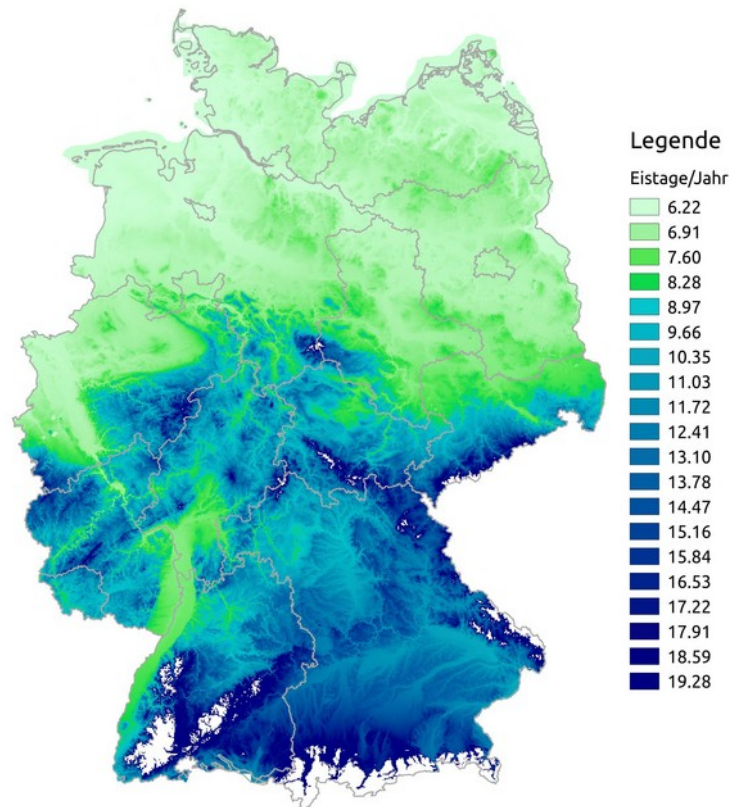


Abbildung 2.5.1: Eistage pro Jahr gemäß den Ergebnissen aus /1.8/ für Höhen bis 700m üNN.

2.6 Berechnung der Flugbahn von Blattbruchstücken

Für die Berechnung der Flugbahnen der Blattbruchstücke wird basierend auf den Luftwiderstandsbeiwerten, der Geometrie und der Masse der Blattbruchstücke die Lage des Blattbruchstückes während der gesamten Bewegung erfasst und verfolgt, so dass sich im Vergleich zu einer rein ballistischen Flugbahn ein realistischeres Bild der Flugweiten ergibt und auch solche Flugbahnen erfasst werden, bei denen im Einzelfall aufgrund von Auftriebskräften am Blattbruchstück sehr hohe Flugweiten erreicht werden. In Abbildung 2.6.1 ist eine beispielhafte Flugbahn visualisiert.

Für die Berechnung werden für die Leistungsklasse der WEA repräsentative Daten zu Blattmassenverteilung, Geometrie, aerodynamischen Beiwerten (Auftrieb-, Schub- und Momentenbeiwerte an verschiedenen Blattschnitten) sowie Pitch- und Drehzahlverlauf unterstellt. Der Bruch wird in allen Fällen als glatter, plötzlicher Abriss modelliert, der während des Bruchvorgangs keine Energie verbraucht. Im Unterschied zu /1.11/, wo stets der Abriss des ganzen Blattes unterstellt wird, werden auch größere Blattbruchstücke betrachtet, die tendenziell zu größeren Flugweiten und damit zu einer konservativen Betrachtungsweise führen.

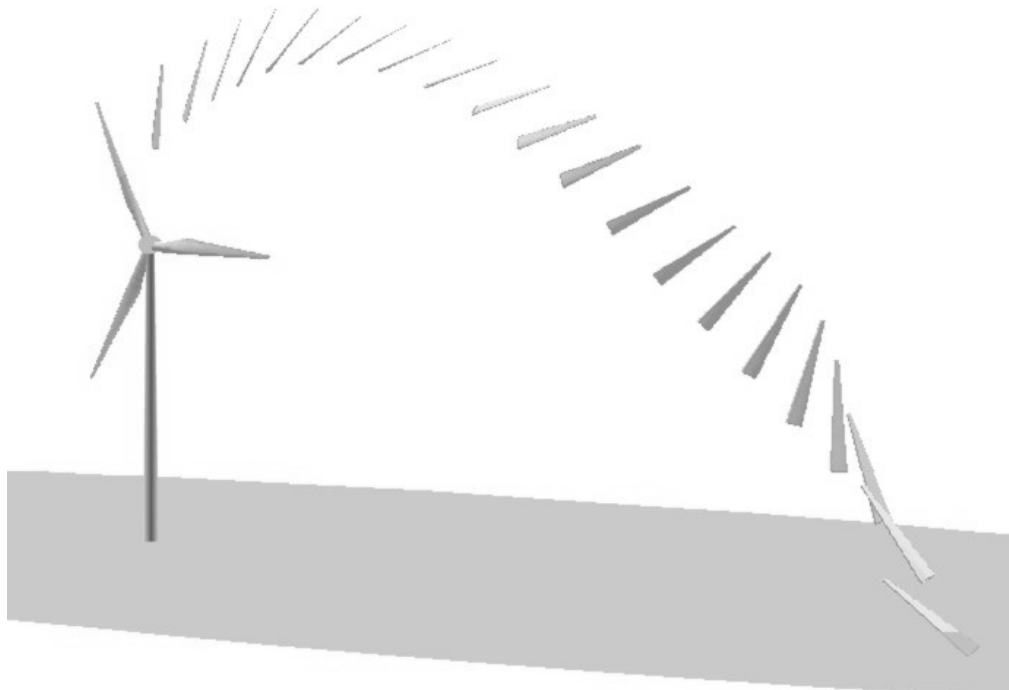


Abbildung 2.6.1: Beispielhafte Flugbahn eines Blattbruchstückes /1.12/.

Folgende Randbedingungen wurden bei der Berechnung zugrunde gelegt:

- Abrisspunkte:
 - ganzes Blatt (50% der Ereignisse),
 - Bruchstücke von 90%, 70%, 50% und 30% der Blattlänge (jeweils 12.5% der Ereignisse).
- Windgeschwindigkeitsverteilung entsprechend Tabelle 3.2.1.
- Windrichtung in 1° Grad-Schritten gewichtet mit der Häufigkeitsverteilung der Windrichtungen entsprechend Tabelle 3.2.1.
- Rotorblattstellung zum Zeitpunkt des Abrisses: gleichverteilt in 2°-Schritten.
- Drehzahl der WEA: Abhängig von der Windgeschwindigkeit entsprechend Kennlinie der WEA (Überdrehzahl wird vernachlässigt, da dies als Ursache für Blattbruch vernachlässigbar ist /1.11/).
- Geländehöhe: für das Geländemodell in der Umgebung der WEA werden Daten aus /1.5/ berücksichtigt.

Für die Ermittlung der Gesamthäufigkeit, dass ein Blattbruchstück auf einer Fläche von einem Quadratmeter in der Umgebung einschlägt, ist anschließend die Eintritts-



wahrscheinlichkeit von $8.4 \cdot 10^{-4}$ für einen Blattbruch pro WEA und pro Jahr nach Tabelle 2.3.1 mit in Betracht zu ziehen.

2.7 Berechnung der Auftreffhäufigkeit nach Turmversagen

Ermüdungsschäden an Türmen sind selten. Es kann angenommen werden, dass das Versagen eines Turmes aufgrund von Ermüdung durch die Bauüberwachung und wiederkehrenden Prüfungen weitestgehend ausgeschlossen werden kann /1.13/. Eine Gefährdung durch Turmversagen wird daher unterstellt, wenn es bei extremer Belastung (Sturm) aufgrund von Konstruktions-, Planungs- oder Wartungsfehlern zu einem Versagen des Turmes bzw. des Fundamentes kommt.

Aus den Abmaßen der WEA und der Lage der Schutzobjekte ergibt sich die Windrichtung aus denen die Starkwindlagen unterstellt werden müssen. Aus den Winddaten in Tabelle 3.2.1 werden anschließend die relativen Häufigkeiten für Starkwind mit einem 10-Minuten-Mittelwert von mehr als 16m/s auf Nabenhöhe für die jeweils zu betrachtenden Windrichtungen bestimmt. In Verbindung mit der Versagenshäufigkeit aus Tabelle 2.3.1 ergeben sich die Gesamthäufigkeiten.

2.8 Grenzwerte und Risikobewertung

2.8.1 Grenzwerte individuelles Risiko

Für Personenschäden findet sich in der Literatur das Konzept der minimalen endogenen Sterblichkeit (MEM) /2.3/. Die minimale endogene Sterblichkeit in entwickelten Ländern findet sich in der Gruppe der fünf bis 15jährigen. Sie liegt bei $2 \cdot 10^{-4}$ Todesfällen pro Person und Jahr. Eine neue Technologie sollte diese endogene Sterblichkeit nicht nennenswert erhöhen. Es wird daher gefordert, dass die einer neuen Technologie verbundene Sterblichkeit nicht mehr als $1 \cdot 10^{-5}$ Todesfälle pro Person und Jahr betragen darf.

An anderer Stelle wird das gesellschaftlich akzeptierte Todesfallrisiko abhängig vom Grad der Freiwilligkeit und möglichen Einflussnahme auf die Handlung dargestellt /1.7/. Die Akzeptanz sinkt, wenn zum einen die Möglichkeit sich durch adäquates Handeln zu schützen gegen Null geht und zum anderen sich die Person nicht freiwillig der Gefährdung aussetzt. Der unter diesen Randbedingungen definierte Grenzwert liegt bei $1 \cdot 10^{-5}$ Todesfällen pro Person und Jahr und entspricht damit dem definierten MEM-Kriterium.

Betrachtet man das Risiko in der Nähe einer WEA durch Eisfall, Eiswurf oder Bauteilversagen tödlich zu verunglücken, begibt man sich in der Regel weder frei-



willig in diese Lage noch hat man durch persönliche Einflussnahme eine Möglichkeit das Risiko nennenswert zu minimieren. Der Ansatz des MEM-Kriteriums ist daher an dieser Stelle gerechtfertigt und sinnvoll.

Damit liegt eine inakzeptable Gefährdung durch Eiswurf, Eisfall oder Bauteilversagen nur vor, wenn der so definierte Grenzwert überschritten wird.

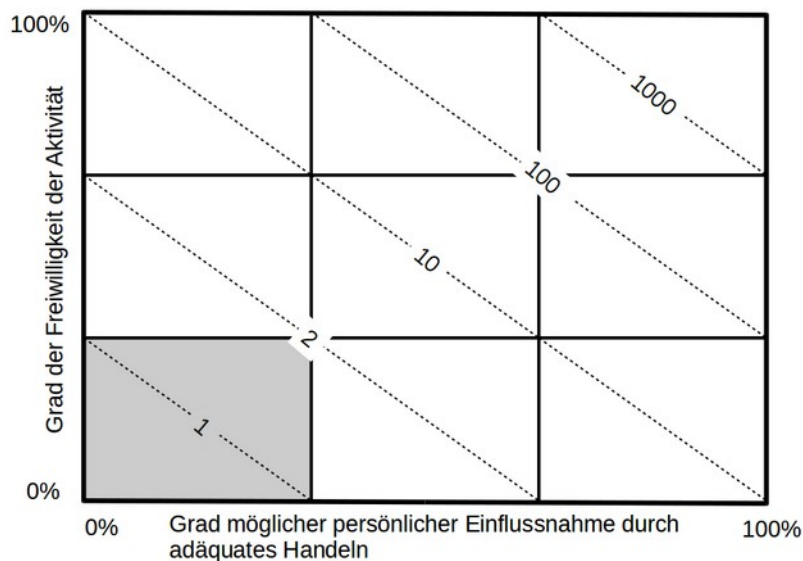


Abbildung 2.8.1.1: Akzeptiertes Todesfallrisiko pro 100 000 Personen /1.7/. Grau hinterlegter Bereich entspricht dem MEM-Kriterium /2.3/.

Um hier eine konservative Vorgehensweise zu gewährleisten, werden bezüglich des Eisfall/Eiswurf-Risikos folgende Annahmen getroffen:

- Ein Eisstück, das eine ungeschützte Person außerhalb eines Fahrzeuges oder Gebäudes im Bereich des Kopfes trifft, führt immer zu einer schweren Verletzung oder zum Tode.
- Bis zu einer Geschwindigkeit von 50km/h kann angenommen werden, dass eine Person innerhalb eines Fahrzeuges vor direkten tödlichen Treffern durch Eisstücke geschützt ist. Oberhalb von 50km/h kann es neben einem direkten tödlichen Treffer auch zu einem schweren Unfall mit tödlichem Ausgang kommen, wenn ein Eisstück auf das Fahrzeug oder dicht vor dem Fahrzeug aufschlägt. Das Risiko für einen solchen Unfall steigt überproportional mit der Fahrzeuggeschwindigkeit. Die durchschnittliche Anzahl von Personen in einem Kraftfahrzeug ist statistisch erfasst /1.6/, so dass sich hieraus eine Anzahl betroffener Personen ableiten lässt.

Mit dem Ausschluss leichter Verletzungen, der fehlenden Unterscheidung zwischen schweren und tödlichen Verletzungen wird hier ein konservativer Ansatz gewählt.



Eine weitere Differenzierung gestaltet sich an dieser Stelle sehr schwierig und lässt sich statistisch zurzeit nicht ausreichend absichern.

2.8.2 Grenzwerte kollektives Risiko

Bei der Bewertung von Schutzobjekten, bei denen sich eine größere Anzahl von Personen in der Nähe der WEA aufhält, wie es typischerweise bei Verkehrswegen der Fall ist, ist gemäß /2.1/ das daraus resultierende Kollektivrisiko zu bewerten. Entsprechende Grenzwerte für das Kollektivrisiko werden in /2.1/ definiert. Diese liegen für das Kollektivrisiko zwei Größenordnungen oberhalb des MEM-Kriteriums /2.1/ und somit bei $1 \cdot 10^{-3}$ Todesfällen pro Jahr.

Gemäß /2.1/ kann für das Risiko im Straßenverkehr der Grenzwert für das kollektive Risiko basierend auf vorliegenden Unfallstatistiken ermittelt werden. Diese Vorgehensweise findet Anwendung für Straßen des Fernverkehrs und angeschlossene Straßen, die dem Durchgangsverkehr dienen. Dies sind in Deutschland die Bundesautobahnen, die Bundesstraßen und die Landesstraßen.

Das aktuelle Risiko ist dabei auf Basis der Todesfälle und der Schwerverletzten im Straßenverkehr zu ermitteln. Entsprechend der grundsätzlichen Idee des MEM-Kriteriums wird auch hier gefordert, dass ein bestehendes Risiko nicht nennenswert erhöht werden darf. Der anzusetzende Grenzwert für eine inakzeptable Gefährdung wird daher eine Größenordnung niedriger gewählt als das bestehende Risiko /2.1/.

Mit /1.3/ liegen entsprechende Unfallzahlen für Kfz-Benutzer gegliedert nach Straßenklasse, Ortslage und Unfallfolge vor. Tabelle 2.8.2.1 listet die entsprechenden absoluten Unfallzahlen pro Jahr für die betreffenden Straßengruppen.

Tabelle 2.8.2.1: Verunglückte Kfz-Benutzer gegliedert nach Straßenklasse pro Jahr /1.3/.

Straßenklasse	Getötete	Schwerverletzte
Bundesautobahn	344	5673
Bundesstraße (außerorts)	640	7742
Landesstraße (außerorts)	646	9210

In Verbindung mit der Inlandsfahrleistung auf den verschiedenen Straßenklassen lassen sich daraus die bestehenden Risiken bezogen auf die gefahrene Strecke bestimmen. Damit ist es möglich abhängig von der Verkehrsdichte straßenspezifische Risikowerte festzulegen. Die Streckenlänge ist dabei so festzulegen, dass jeweils nur eine WEA zur Gefährdung beitragen kann, um auch hier zu gewährleisten, dass das von jeder WEA ausgehende Risiko unabhängig bewertet werden kann. Werden die Risikogrenzwerte standortspezifisch bestimmt, so sind sie in Kapitel 3 dargestellt.



Für alle anderen Straßenklassen kann der oben definierte Grenzwert für das Kollektivrisiko von $1 \cdot 10^{-3}$ zugrunde gelegt werden.

2.8.3 Grenzwerte kollektives Risiko für Ereignisse mit einer hohen Anzahl Todesfälle

Der in 2.8.2 verwendete Begriff des kollektiven Risikos orientiert sich an den Empfehlungen der IEA /2.1/ und betrachtet die Summe aller Todesfälle, die sich durch Ereignisse mit jeweils nur einem oder sehr wenigen Todesfällen ergeben. Für Risiken, bei denen pro Ereignis eine große Zahl von Toten zu erwarten ist, wie z.B. bei einem Flugzeugabsturz, ist zu beachten, dass das gesellschaftlich akzeptierte Risiko niedriger anzusetzen ist.

Im Zusammenhang mit WEA kommt dies zum Tragen, wenn das Risiko durch Bauteilversagen für eine sehr stark befahrene Straße wie z.B. eine Bundesautobahn oder eine Bahnlinie mit Personenverkehr bewertet wird. In beiden Fällen ist entweder aufgrund der hohen Verkehrsdichte und Geschwindigkeit und den resultierenden Folgeunfällen oder wegen einem Entgleisen bei hohen Geschwindigkeiten damit zu rechnen, dass es in einem Schadensfall zu einer größeren Anzahl von Toten kommt. In diesen Fällen erfolgt die Grenzwertbestimmung anhand sogenannter F-N-Kurven /2.1, 2.8/.

Es existieren verschiedene F-N-Kurven, die Ereignissen mit mehreren Toten unterschiedlich abnehmende Akzeptanzen zuweisen (sogenannte Risk-Aversion). Die IEA empfiehlt in /2.1/ eine F-N-Kurve mit einem Risk Aversion Faktor von eins. Dies entspricht auch dem für F-N-Kurven in /2.8/ angegebenen Beispiel und auch der aktuellen Praxis in Belgien /2.8/ und wird daher hier verwendet.

Bei sehr stark befahrenen Straßen wird standortspezifisch ermittelt, wie viele Tote pro Ereignis standortspezifisch zu erwarten sind. Im Anschluss wird die entsprechende F-N-Kurve auf den standortspezifischen Grenzwert bezogen.

Bei überregionalen Bahnstrecken mit Personenverkehr wird konservativ eine Größenordnung von 100 Toten angesetzt. Diese Abschätzung basiert auf der Anzahl der Toten und Schwerverletzten bei dem schwersten Zugunglück der Bundesrepublik Deutschland in Eschede im Jahr 1998 /1.10/. Der sich aus der F-N-Kurve ergebende Grenzwert für das kollektive Risiko entspricht in diesem Falle dann dem Grenzwert für das individuelle Risiko (siehe Kapitel 2.8.1).

2.8.4 Risikobewertung

Im Folgenden wird in allen Fällen das individuelle Risiko und das kollektive Risiko



ermittelt. Anschließend wird in Abhängigkeit von der Aufenthaltshäufigkeit von Personen das individuelle oder kollektive Risiko für eine Bewertung zugrunde gelegt. In Anlehnung an /2.1/ kann dabei folgende Aufteilung verwendet werden:

- Individuelles Risiko:
 - land- und forstwirtschaftlich genutzte Wege, Wanderwege, Fahrradwege und Straßen mit geringer Verkehrsdichte,
 - Objekte wie Scheunen, Hütten etc., die regelmäßig durch den Besitzer oder durch einen kleinen Personenkreis genutzt werden.
- Kollektives Risiko:
 - stark genutzte Gemeindestraßen, Kreisstraßen, Landesstraßen, Bundesstraßen und Autobahnen,
 - Objekte, die von generellem Interesse für die Öffentlichkeit sind und entsprechend durch eine größere Personengruppe genutzt werden (öffentliche Parkplätze, Industrieanlagen etc.).
 - Ereignisse, bei denen pro Ereignis eine große Zahl von Toten zu erwarten ist.

Für die Bewertung des kollektiven Risikos sind dabei die Risiken aller zu betrachtenden Individuen zu addieren. In Fällen, bei denen pro Ereignis ein große Anzahl von Toten zu erwarten ist, sind die Grenzwerte für das kollektive Risiko entsprechend zu reduzieren.

Für die Bewertung des individuellen Risikos ist das sogenannte kritische Individuum maßgeblich, das aufgrund seiner Nutzung der Schutzobjekte dem höchsten Risiko ausgesetzt ist. Das individuelle Risiko ist im Gegensatz zum kollektiven Risiko daher nicht von der Gesamtanzahl der Personen abhängig, die die Schutzobjekte frequentieren. Auf kleineren Wegen, auf denen nur eine geringe Fahrgeschwindigkeit von Kfz zu unterstellen ist, ist das kritische Individuum z.B. in der Regel der Fußgänger oder Radfahrer. Aufgrund der geringe Eintrittshäufigkeit kann das Risiko durch Bauteilversagen von einer einzelnen WEA für einen individuellen Fußgänger im Allgemeinen keine unzulässigen Werte erreichen. Die Ausweisung und Bewertung des Risikos kann daher im Einzelfall auf die für die Gesamtbewertung relevanten WEA begrenzt werden (siehe Kapitel 2.8.6).

Das individuelle Risiko ist in der Regel für stark genutzte überregionale Verkehrswege nicht maßgeblich. Eine Ausnahme bilden hier die überregionalen Bahnstrecken, da hier beim Szenario Eiswurf oder Eisfall nur wenige individuelle Personen, nämlich die Lokführer, gefährdet sind. Da es nicht praktikabel oder nicht möglich ist, das individuelle Risiko entlang einer gesamten Bahnstrecke zu bewerten,

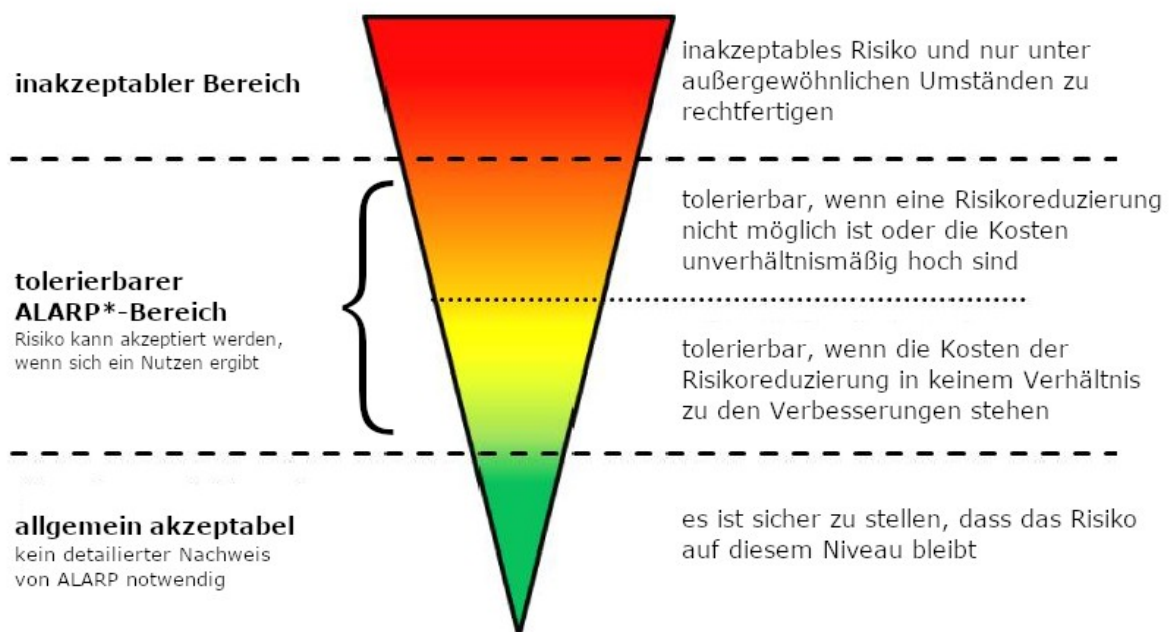


werden in diesem Fall die Grenzwerte für das individuelle Risiko um den Faktor zehn erniedrigt.

Beim Szenario Bauteilversagen gelten in der Nähe von Bahnstrecken die reduzierten Grenzwerte für das kollektive Risiko gemäß Kapitel 2.8.2, die in diesem Fall den hier definierten Grenzwerten für das individuelle Risiko entsprechen.

Entsprechend dem Vorgehen der UK Health and Safety Executive (HSE) /1.9/ werden in /2.1/ unterhalb des inakzeptablen Bereiches weitere Risikobereiche definiert, die unterschiedliche Maßnahmen erfordern.

Das MEM-Kriterium definiert für das individuelle Risiko dabei die Obergrenze des sogenannten ALARP-Bereichs (As Low As Reasonably Practicable, s. Abbildung 2.8.4.1). Risiken die höher als das MEM-Kriterium liegen, sind demnach nicht akzeptabel.



*: ALARP: as low as reasonably practicable
Risiko so niedrig, wie vernünftigerweise möglich

Abbildung 2.8.4.1: ALARP-Prinzip nach /1.9/. Die Grenze zum roten inakzeptablen Bereich wird für das individuelle Risiko durch das MEM-Kriterium /2.3/ definiert.

Darunter folgt der ALARP-Bereich, welcher sich über zwei Größenordnungen der Risikowerte erstreckt.



Liegt das Risiko im oberen ALARP-Bereich, sollen Maßnahmen in Betracht gezogen werden, um das Risiko weiter zu reduzieren. Die Maßnahmen sollten sich an den bekannten und etablierten Techniken und den am Standort gegebenen Möglichkeiten orientieren.

Liegt das Risiko im unteren ALARP-Bereich, sind Maßnahmen zur Reduzierung des Risikos in der Regel nicht erforderlich. Im Rahmen des Gutachtens werden entsprechend nur im Einzelfall Maßnahmen vorgeschlagen.

Liegt das Risiko mehr als einen Faktor 100 unterhalb des MEM-Kriteriums, ist es ohne weitere Maßnahmen allgemein akzeptabel. Die Grenze zwischen dem ALARP-Bereich und dem allgemein akzeptablen Risiko liegt für das individuelle Risiko bei einer Sterbehäufigkeit von 10^{-7} pro Person und Jahr (einmal in 10 Millionen Jahren). Dies entspricht etwa dem Risiko durch Blitzschlag zu sterben /1.16/.

Dieser grüne Bereich erstreckt sich sinnvollerweise ebenfalls über eine Größenordnung der Risikowerte, da Risikowerte, die mehr als einen Faktor 1000 unterhalb des hier definierten Grenzwertes für das individuelle Risiko liegen, jenseits fast aller bekannten Risiken liegen. Entsprechend kann die Abbildung 2.8.4.1 nach unten um einen blauen Bereich erweitert werden, in dem das Risiko vernachlässigbar ist. Der einzige bekannte Wert für das individuelle Risiko, der sich nach /1.16/ noch diesem Bereich zuordnen lässt, ist die Sterbehäufigkeit durch einen Meteoriteneinschlag (siehe auch Abbildung 2.8.4.2).

Bei der Bewertung der individuellen und kollektiven Risiken wird entsprechend zwischen den fünf in Tabelle 2.8.4.1 genannten Bereichen unterschieden.



Table 2.8.4.1: Risikobereiche für das individuelle und kollektive Risiko nach /2.1/ erweitert um einen Bereich für vernachlässigbares Risiko.*

Individuelles Risiko (Sterbehäufigkeit pro Person und Jahr)	Kollektives Risiko (Sterbehäufigkeit pro Jahr)	Bewertung
$> 10^{-5}$	$> 10^{-3}$ oder standortspezifisch	Roter Bereich: Risiko inakzeptabel - Maßnahmen sind einzuleiten und deren Nutzen nachzuweisen
10^{-6} bis 10^{-5}	10^{-4} bis 10^{-3} oder standortspezifisch	Oranger Bereich: Risiko tolerierbar - Maßnahmen sind in Betracht zu ziehen
10^{-7} bis 10^{-6}	10^{-5} bis 10^{-4} oder standortspezifisch	Gelber Bereich: Risiko tolerierbar - Maßnahmen in der Regel nicht erforderlich
10^{-8} bis 10^{-7}	10^{-6} bis 10^{-5} oder standortspezifisch	Grüner Bereich: Risiko allgemein akzeptabel
$< 10^{-8}$	$< 10^{-6}$ oder standortspezifisch	Blauer Bereich: Risiko vernachlässigbar

- Für Szenarien, bei denen pro Ereignis mit einer großen Anzahl von Toten zu rechnen ist, sind die Erläuterungen in Kapitel 2.8.3 zu beachten.

Da Sachschäden hier in ihrer Schwere gegenüber Personenschäden vernachlässigbar sind, werden diese in der Regel nicht weiter bewertet und in den Detailergebnissen im Anhang nicht dargestellt.

Abbildung 2.8.4.2 veranschaulicht die Risikobereiche für das individuelle Risiko noch einmal, indem für die einzelnen Risikobereiche Beispiele für Tätigkeiten und Gefahren genannt werden. Zusätzlich wird in Abbildung 2.8.4.2 auch die jährliche Fahrleistung in Kilometern aufgeführt, bei der man als Kraftfahrer im deutschen Straßenverkehr die jeweiligen Grenzwerte zwischen den Risikobereichen erreicht. Man erkennt, dass bereits ab einer sehr geringen Fahrleistung von 3000km pro Jahr der hier definierte inakzeptable Bereich erreicht wird. Da sehr viele Tätigkeiten mit ihrem Risiko in den inakzeptablen Bereich fallen, wurde dieser in Abbildung 2.8.4.2 noch weiter untergliedert.



Farbe	Sterberisiko pro Person pro Jahr	Symbol / Bezeichnung	Beispiele für Sterberisiken	
			Kfz im Straßenverkehr (Fahrleistung pro Jahr) /1.6/	Andere Beispiele /1.11/
Inakzeptabel (rot)	10^{-3}	- inakzeptabel	300.000 km	Bergsteigen
	10^{-4}		30.000 km	Hausarbeit
Tolerierbar (orange)	10^{-5}	+ tolerierbar	3.000 km	Arbeitsunfall
	10^{-6}		300 km	Gebäudebrand
Allgemein akzeptabel (gelb)	10^{-7}	++ tolerierbar	30 km	Blitzschlag
	10^{-8}		3 km	Erdbeben
Vernachlässigbar (blau)	10^{-8}	≈ 0 vernachlässigbar		Meteorit

Abbildung 2.8.4.2: Risikobereiche und Beispiele für das individuelle Sterberisiko.

2.8.5 Risikomindernde Maßnahmen

Liegt das Risiko im inakzeptablen roten Bereich, ist ein Nachweis erforderlich, dass das Risiko durch geeignete Maßnahmen in den ALARP-Bereich verschoben werden kann. Gemäß /2.1/ kommen insbesondere folgende Maßnahmen in Frage, um das Risiko in den ALARP-Bereich zu verschieben:

- Fixierung der Azimut-Position des Rotors der WEA nach Abschaltung durch die Eiserkennung,
- Installation eines Systems zur Erkennung von strukturellen Schäden an den Rotorblättern ,
- Wahl eines kleineren WEA-Typs,



- Verschiebung der WEA,
- Verlegung des betroffenen Schutzobjektes.

In allen Fällen ist durch eine erneute Berechnung nachzuweisen, dass das Risiko anschließend nicht mehr im roten inakzeptablen Bereich liegt /2.1/.

Liegt das Risiko im oberen orangen ALARP-Bereich sind etablierte risikomindernde Maßnahmen umzusetzen. Zu den empfohlenen Maßnahmen zählen:

- Fixierung der Azimut-Position des Rotors der WEA nach Abschaltung durch die Eiserkennung, wenn dies aufgrund der Lage der Schutzobjekte möglich und sinnvoll ist,
- Einsatz einer funktionssicheren Eiserkennung,
- Warnschilder,
- Warnleuchten, die mit dem Eiserkennungssystem der WEA gekoppelt sind,
- Physische Barrieren wie Schranken sofern dies vor Ort umgesetzt werden kann.
- Einbau zusätzlicher Monitoring- und Überwachungssysteme,
- Aufklärung der direkten Nachbarn und Nutzer des umliegenden Bereichs,
- verkürzte Intervalle für Wartung und Inspektion

Die Auswahl der Maßnahmen sollte sich an den bekannten und etablierten Techniken und den am Standort gegebenen Möglichkeiten orientieren.

Auf Freiflächen mit kontrolliertem und beschränktem Zutritt wie z.B. einem Betriebsgelände kann das Risiko durch Eisfall und Eiswurf auch durch Aufenthaltsbeschränkungen oder das Tragen eines Schutzhelmes reduziert werden. Bei der Quantifizierung dieser Maßnahmen kann gemäß /1.14/ davon ausgegangen werden, dass das Tragen eines Schutzhelmes mit einem Chancenverhältnis (odds ratio) für schwere und tödliche Kopfverletzungen von etwa $\frac{1}{3}$ verbunden ist.

Bei einer Fixierung der Azimut-Position wird die WEA nach einer Abschaltung durch die Eiserkennung in eine fixe Azimut-Position gefahren. Damit kann die Trefferhäufigkeit von Eisstücken auf die Schutzobjekte verringert werden, indem im Falle eines Verkehrsweges z.B. der Rotor parallel zum Fahrbahnrand ausgerichtet wird. Die Azimut-Position wird dabei definiert über den Azimutwinkel zwischen geografisch Nord und der Achsenrichtung der WEA.

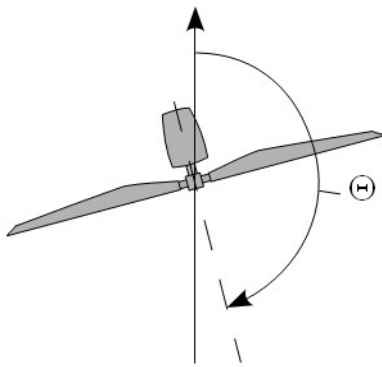


Abbildung 2.8.5.1: Definition des Azimutwinkels Θ .

2.8.6 Addition von Risiken

Die Risiken durch Eiswurf/Eisfall und durch Bauteilversagen sind grundsätzlich zu addieren und gemeinsam zu betrachten und zu bewerten.

Entlang von Verkehrswegen kann weiterhin in der Regel nicht ausgeschlossen werden, dass einzelne oder alle Personen mehrere WEA passieren und damit einer Summe von Risiken ausgesetzt sind.

Dies spielt für den überregionalen Verkehr keine Rolle, da hier entweder direkt mit Grenzwerten verglichen wird, die auf die gefahrene Strecke bezogen sind (siehe Kapitel 2.8.2) oder bei Verwendung der pauschalen Grenzwerte dies gemäß /2.1/ begründet werden kann.

WEA an Autobahnen, Bundesstraßen und Landesstraßen können daher stets einzeln betrachtet werden. Hier sind benachbarte WEA nur dann von Interesse, wenn sich die Gefährdungsbereiche der zu bewertenden WEA und einer benachbarten WEA überlappen. Dasselbe gilt für die Risikobewertung von Schäden an Erdöl- und Erdgasleitungen, da auch hier die Grenzwerte auf die Leitungslänge bezogen werden.

Bei der Bewertung von Verkehrswegen des regionalen bzw. des Nahverkehrs werden die akzeptierten Grenzwerte für das individuelle bzw. kollektive Risiko herangezogen. Für Kreisstraßen, Gemeindestraßen und sonstige Verkehrswege ist daher zu prüfen, ob die übliche Nutzung dazu führt, dass die Gefährdungsbereiche mehrerer WEA passiert werden. Diese Betrachtung kann aufgrund des regionalen Charakters dieser Verkehrswege dabei auf den zu betrachtenden Windpark beschränkt werden.

In einem verzweigten Verkehrsnetz innerhalb eines Windparks gibt es eine Viel-



zahl von Routen, die nicht alle betrachtet werden können. Es ist hier ausreichend eine repräsentative Route zu wählen, die eine konservative Bewertung gewährleistet.

In der Praxis kann für Verkehrswege des regionalen bzw. des Nahverkehrs folgendermaßen vorgegangen werden:

- Im ersten Schritt werden die Risiken ausgehend von jeder einzelnen WEA und bezogen auf die verschiedenen Schutzobjekte ermittelt. Wenn einzelne Risiken hier bereits im oberen ALARP-Bereich liegen, werden die entsprechenden Maßnahmen abgeleitet (siehe auch Kapitel 2.8.4)
- Im zweiten Schritt wird eine repräsentative Route festgelegt und hierfür das Risiko ermittelt und bewertet. Eventuell sind hieraus weitere risikomindernde Maßnahmen abzuleiten.
- Auf den zweiten Schritt kann verzichtet werden, wenn die Summe der Risiken über alle WEA die jeweils anzusetzenden Grenzwerte für das individuelle bzw. kollektive Risiko nicht übersteigen.
- Aufgrund der geringe Eintrittshäufigkeit kann das Risiko durch Bauteilversagen von einer einzelnen WEA für einen individuellen Fußgänger im Allgemeinen keine unzulässigen Werte erreichen. In diesen Fällen reicht es daher aus, das Risiko durch Bauteilversagen für die WEA zu ermitteln, die im zweiten Schritt für das Risiko entlang der repräsentativen Route relevant sind.

2.9 Gültigkeit der Ergebnisse

Die für die Risikobewertung erforderliche Häufigkeitsverteilung von Eis- und Blattbruchstücken in der Umgebung der WEA hängt von mehreren Faktoren ab. Dies sind neben den WEA-Daten (Koordinaten, WEA-Typ, Nabenhöhe, Nennleistung, Betriebsweise der WEA sowie Vorhandensein und Art des Eiserkennungssystems), die Windbedingungen (Häufigkeitsverteilung der Windrichtung, sektorielle Weibull-Parameter der Windgeschwindigkeitsverteilung) und die Vereisungsbedingungen am Standort. Mit letzterem sind neben der Anzahl der Vereisungstage auch die zu erwartende Eismasse auf dem Rotorblatt sowie die Massen- und Formverteilung der sich lösenden Eisstücke gemeint. Weiterhin ist die Risikobewertung abhängig von der Aufenthaltshäufigkeit und dem Bewegungsmuster von Personen im Umfeld der WEA.

Jede Änderung dieser Randbedingungen erfordert daher eine Neubewertung des Risikos.

Für alle Parameter, die einen Einfluss auf die Auftreffpunkte der Eis- oder



Blattbruchstücke haben, lassen sich keine pauschalen konservativen Werte festlegen /2.1/. Dies bedeutet insbesondere, dass eine Reduzierung der Nabhöhe nicht automatisch zu einer Reduzierung des Risikos führt. Auch sind die Ergebnisse eines Risikos durch Eiswurf nicht unbedingt abdeckend für das Risiko durch Eisfall von derselben WEA am selben Standort.

In den Berechnungen zum Risiko durch Eisfall wird angenommen, dass die gesamte auf den Rotorblättern im Vereisungsfall unterstellte Eismasse in Form von Eisstücken abgeworfen wird.

2.10 Systeme zur Prävention und Enteisung

Zurzeit liegen keine gesicherten Erkenntnisse vor, wie die Verteilung von Eisstückgrößen oder deren Dichte durch eine Rotorblattenteisung im Einzelfall beeinflusst wird. Nach derzeitigem Kenntnisstand führt der Einsatz einer Rotorblattenteisung wie zum Beispiel einer Rotorblattheizung dazu, dass die Größe der Eisstücke beim Eisfall sinkt, gleichzeitig aber die Anzahl der Eisstücke deutlich zunehmen kann.

Da zu den einzelnen Systemen keine spezifischen Untersuchungen vorliegen, wie sich die Rotorblattenteisung auf das Eisfallrisiko auswirkt, ist eine genau Quantifizierung im Rahmen der Berechnungen zurzeit nicht möglich. Der Einfluss dieser Systeme wird entsprechend in den Berechnungen nicht berücksichtigt.












Im Allgemeinen kann aber davon ausgegangen werden, dass die Berechnungen für Eisfall den Einsatz einer Rotorblattenteisung im Trudelbetrieb bzw. bei Stillstand der WEA abdecken und ihr Einsatz zulässig ist.



2.11 Verwendete Begriffe und Symbole

Es ergeben sich folgende Begriffe und Symbole, die im Zusammenhang mit WEA im Gutachten verwendet werden:

Tabelle 2.11.1: Erläuterung der verwendeten Begriffe und Symbole.

Erläuterung der Begriffe		
	„geplante WEA“	WEA, deren Risiko im Rahmen des Gutachtens zu bewerten ist.
 	„benachbarte WEA“	Alle weiteren WEA, die vom Auftraggeber übermittelt wurden. Es ist dabei unerheblich, ob sich einzelne benachbarte WEA ebenfalls in Planung oder Bau befinden. Entscheidend ist die Windparkkonfiguration, die als Vorbelastung für die geplanten WEA zu unterstellen ist. Alle benachbarten WEA sind in Tabelle 3.3.1 aufgeführt.
	„Referenzpunkt der Winddaten“	Jeweiliger Standort, auf dessen Koordinaten sich die verwendeten Winddaten beziehen.
Farbliche Zuordnung der Symbole		
	Zu bewertende WEA: geplante WEA, deren Risiko bewertet wird.	
	Zu berücksichtigende WEA: Benachbarte WEA, die aufgrund ihres Abstandes zu den geplanten WEA Einfluss auf das Risiko im Gefährdungsbereich der zu bewertenden WEA () nehmen bzw. aufgrund der Nutzung der Schutzobjekte innerhalb des Windparks potentiell zu berücksichtigen sind.	
	Benachbarte WEA, die aufgrund ihres Abstandes zu den geplanten WEA und ihrer Lage im Windpark nicht bei der Bewertung des Risikos der zu bewertenden WEA () zu berücksichtigen sind. Diese WEA sind eventuell nur zum Teil in Abbildung 3.3.1 dargestellt.	
	Referenzpunkte der Winddaten.	
	Referenzpunkt der Winddaten auf den Koordinaten einer (in diesem Fall geplanten) WEA.	



3 Eingangsdaten

3.1 Windparkkonfiguration und Schutzobjekte

Am Standort Krinitz Steesow IV (Mecklenburg-Vorpommern) plant der Auftraggeber die Errichtung von elf Windenergieanlagen (WEA 19 - 29).

Am Standort befinden sich 18 weitere benachbarte WEA (WEA 1 - 18).

Die vom Auftraggeber übermittelten Daten zur Windparkkonfiguration und die Schutzobjekte sind in Tabelle 3.3.1 bzw. Abbildung 3.3.1 dargestellt.

In der Umgebung befinden sich zwei Gemeindeverbindungsstraßen, welche im Rahmen dieser Untersuchung vom Auftraggeber als Schutzobjekte definiert wurden (siehe Abbildung 3.3.1).

Im Folgenden wird eine Risikoanalyse der WEA 19 - 29 hinsichtlich einer Gefährdung durch Eiswurf/Eisfall und Bauteilversagen durchgeführt.

3.2 Winddaten am Standort

Für die Berechnung von Bauteilversagen wurden die relativen Häufigkeiten der Windrichtung und Windgeschwindigkeiten am Standort /3.1/ entnommen. Sie sind in Tabelle 3.2.1 als Datensatz 1 dargestellt.

Für die Berechnung von Eisfall und Eiswurf wurden die relativen Häufigkeiten der Windrichtung und Windgeschwindigkeiten am Standort /3.2/ entnommen. Datengrundlage zur Abschätzung des Windpotentials am Standort Krinitz Steesow IV bilden die Daten des anemos Windatlas für Deutschland mit einer räumlichen Auflösung von 3km und einer zeitlichen Auflösung von 10 Minuten. Der Referenzzeitraum deckt 20 Jahre von 2000 - 2020 ab /3.2/.

Entsprechend den Empfehlungen aus /2.1/ wurden die Daten aus /3.2/ für Perioden gefiltert, bei denen Eiswurf oder Eisfall potentiell auftreten kann. Die gefilterten Daten sind in Tabelle 3.2.1 als Datensatz 2 aufgetragen.

Die vorliegenden Daten werden als richtig und repräsentativ für die freie Anströmung am Standort Krinitz Steesow IV vorausgesetzt.

Die Parameter der Weibull-Verteilung werden genutzt, um die Häufigkeitsverteilung der Windrichtungen auf die jeweiligen Windgeschwindigkeiten umzurechnen. Die Weibull-Parameter werden dabei soweit notwendig auf die jeweilige Nabenhöhe der WEA umgerechnet.







Tabelle 3.2.1: Winddaten am Standort (*f*: Häufigkeit der Windrichtung; *A* und *k*: Skalen- und Formparameter der Weibull-Verteilung).

Wind-Datensatz Nr.	Parameter	N	NNO	ONO	O	OSO	SSO	S	SSW	WSW	W	WNW	NNW	Koordinaten (UTM ETRS89/WGS84 Zone 32)	
														Höhe über Grund [m]	
1	A [m/s]	6.30	6.15	6.54	7.66	7.20	7.56	8.53	9.41	9.77	9.45	8.19	6.84	Höhe über Grund [m]	169
	k [-]	2.490	2.233	2.729	2.501	2.401	2.499	2.583	2.311	2.625	2.372	2.528	2.722	Ost	32668083
	f (100%=1)	0.038	0.038	0.049	0.056	0.055	0.082	0.081	0.092	0.169	0.167	0.111	0.063	Nord	5892245
2	A [m/s]	6.87	6.52	7.20	7.86	8.52	8.45	7.69	8.69	9.60	9.38	8.47	7.29	Höhe über Grund [m]	169
	k [-]	2.456	2.558	2.758	2.840	3.029	3.019	2.673	2.914	3.263	3.087	2.535	2.387	Ost	32665947
	f (100%=1)	0.052	0.054	0.074	0.089	0.109	0.090	0.056	0.069	0.126	0.110	0.102	0.070	Nord	5892373

3.3 Windparkkonfiguration und Schutzobjekte






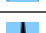



Tabelle 3.3.1: Windparkkonfiguration.

	Lfd. Nr. WEA	Bezeichnung	Hersteller WEA-Typ	P _N [MW]	NH [m]	RD [m]	Koordinaten (UTM ETRS89/WGS84 Zone 33)		Wind-Datensatz Nr.
							East	North	
	1	WEA A01	Vestas V162	5.60	169.00	162.00	33263911	5895728	---
	2	WEA A02	Vestas V150	5.60	169.00	150.00	33264314	5895683	---
	3	WEA A03	Vestas V162	5.60	169.00	162.00	33264661	5895538	---
	4	WEA A04	Vestas V162	5.60	169.00	162.00	33265199	5895571	---

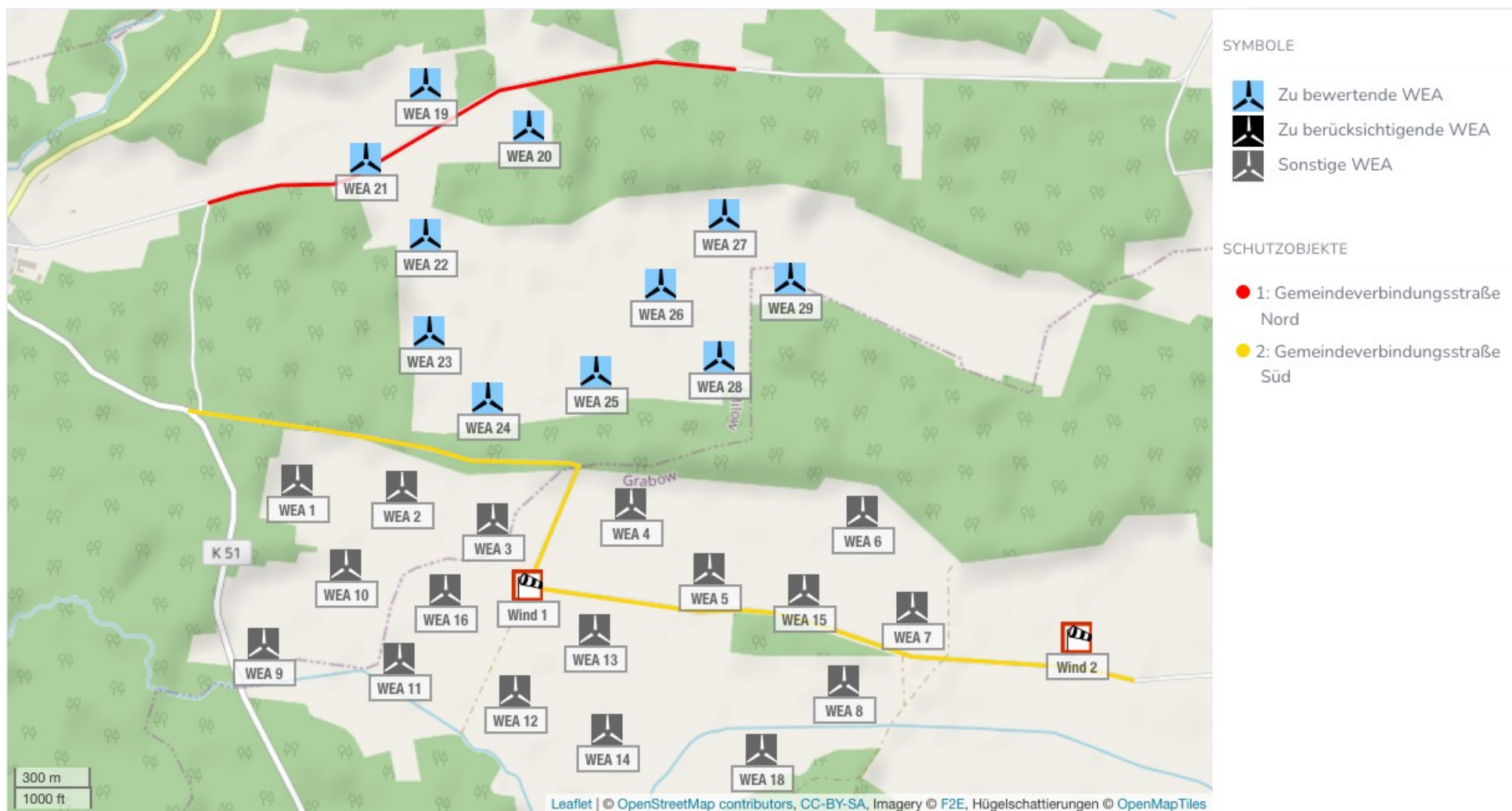


	Lfd. Nr. WEA	Bezeichnung	Hersteller WEA-Typ	P _N [MW]	NH [m]	RD [m]	Koordinaten (UTM ETRS89/WGS84 Zone 33)		Wind- Datensatz Nr.
							East	North	
	5	WEA A05	Vestas V162	5.60	169.00	162.00	33265488	5895308	---
	6	WEA A07	Vestas V162	5.60	169.00	162.00	33266093	5895497	---
	7	WEA A08	Vestas V162	5.60	169.00	162.00	33266269	5895120	---
	8	WEA A09	Vestas V162	5.60	169.00	162.00	33265987	5894850	---
	9	WEA A10	Vestas V162	5.60	169.00	162.00	33263749	5895104	---
	10	WEA A11	Vestas V162	5.60	169.00	162.00	33264081	5895388	---
	11	WEA B01	Vestas V162	6.00	169.00	162.00	33264269	5895018	---
	12	WEA B02	Vestas V162	6.00	169.00	162.00	33264716	5894872	---
	13	WEA B03	Vestas V162	6.00	169.00	162.00	33265036	5895090	---
	14	WEA B04	Vestas V162	6.00	169.00	162.00	33265064	5894705	---
	15	WEA B05	Vestas V162	6.00	169.00	162.00	33265853	5895207	---
	16	WEA B06	Vestas V162	6.00	169.00	162.00	33264464	5895277	---
	17	WEA1 eno160	Eno 160	6.00	165.00	160.00	33265272	5894310	---
	18	WEA2 eno160	Eno 160	6.00	165.00	160.00	33265660	5894597	---
	19	C1	Vestas V162	6.20	169.00	162.00	33264481	5897233	1, 2
	20	C2	Vestas V162	6.20	169.00	162.00	33264875	5897051	1, 2



	Lfd. Nr. WEA	Bezeichnung	Hersteller WEA-Typ	P _N [MW]	NH [m]	RD [m]	Koordinaten (UTM ETRS89/WGS84 Zone 33)		Wind- Datensatz Nr.
							East	North	
	21	C3	Vestas V162	6.20	169.00	162.00	33264234	5896953	1, 2
	22	C4	Vestas V162	6.20	169.00	162.00	33264451	5896650	1, 2
	23	C5	Vestas V162	6.20	169.00	162.00	33264451	5896276	1, 2
	24	C6	Vestas V162	6.20	169.00	162.00	33264663	5896009	1, 2
	25	C7	Vestas V162	6.20	169.00	162.00	33265088	5896090	1, 2
	26	C8	Vestas V162	6.20	169.00	162.00	33265354	5896411	1, 2
	27	C9	Vestas V162	6.20	169.00	162.00	33265614	5896671	1, 2
	28	C10	Vestas V162	6.20	169.00	162.00	33265569	5896124	1, 2
	29	C11	Vestas V162	6.20	169.00	162.00	33265860	5896410	1, 2

Alle Benennungen von WEA im Dokument beziehen sich auf die Nomenklatur von Spalte 2 (Lfd. Nr.) in Tabelle 3.3.1.





3.4 Aufenthaltshäufigkeiten

Tabelle 3.4.1: In den Auswertungen berücksichtigtes Verkehrs- und Personenaufkommen auf den Schutzobjekten im Bereich der WEA.

Verkehrsweg	Verkehrsaufkommen			Personenaufkommen***				Kritisches Individuum
	Kfz/Tag	km/h*	Individuelle Nutzungshäufigkeit	Personen/ Tag		Individuelle Nutzungshäufigkeit		
				Radfahrer	Fußgänger	Radfahrer	Fußgänger	
Gemeindeverbindungsstraße Nord	---*	40**	zweimal täglich	---*	---*	einmal täglich	zweimal wöchentlich	Radfahrer
Gemeindeverbindungsstraße Süd	---*	40**	zweimal täglich	---*	---*	einmal täglich	zweimal wöchentlich	Radfahrer

---* Bei Schutzobjekten, die gemäß Kapitel 2.8.4 dem individuellen Risiko zuzuordnen sind, ist für die Risikoabschätzung nur die eine individuelle Person mit der auf der individuellen Nutzungshäufigkeit basierenden größten Gefährdung maßgeblich (kritisches Individuum). Weitere Angaben zur Anzahl der Kfz und Personen pro Tag können daher entfallen.

* Bis zu einer Fahrzeuggeschwindigkeit von 50km/h kann das Risiko durch Eiswurf und Eisfall für Personen innerhalb des Fahrzeuges vernachlässigt werden (siehe Kapitel 2.8.1).

** Aufgrund von Wegbeschaffenheit und -verlauf im standortspezifischen Gefährdungsbereich angenommen.

*** Gemäß /3.3/ ist auf den Gemeindeverbindungsstraßen nicht von Spaziergängern auszugehen.



Tabelle 3.4.1 enthält alle Angaben zum Verkehrs- und Personenaufkommen, die in den nachfolgenden Risikobewertungen für die Verkehrswege berücksichtigt werden. Für Fußgänger und Radfahrer werden die jeweiligen Geschwindigkeiten mit 5km/h bzw. 15km/h zugrunde gelegt. Für Schutzobjekte, für die nach Kapitel 2.8.4 das individuelle Risiko maßgeblich ist, wird in Tabelle 3.4.1 ein kritisches Individuum zugrunde gelegt.

3.5 Vereisungsrelevante WEA-Systeme

3.5.1 WEA-interne Eiserkennungssysteme

Die WEA 19 - 29 besitzen kein internes Eiserkennungssystem, das für die Bewertung von Risikoszenarien relevant ist.

3.5.2 Optionale Eiserkennungssysteme

Die WEA 19 – 21 und 24 sind mit dem Eiserkennungssystem Vestas Ice Detection™ System (VID) ausgestattet /3.4/. Die WEA 22, 23 und 25 - 29 können mit diesem System ausgestattet werden. Das System VID ist baugleich mit dem Eiserkennungssystem BLADEcontrol Ice Detector (BID) der Firma Weidmüller. Dabei werden zwei bestimmte Eigenfrequenzen an den Blättern gemessen. Wird eine Änderung der Frequenzen festgestellt, lässt dies auf Eisansatz schließen und die Anlage schaltet ab.

Dieses System erkennt Eis auch im Trudelbetrieb, so dass die Anlage nach dem Abtauen selbstständig wieder in Betrieb genommen wird, soweit dies behördlich erlaubt ist.

Gemäß /3.5/ entspricht die Integration des Systems BLADEcontrol Ice Detector (BID) in Vestas-Anlagen den behördlichen Anforderungen für eine sichere Abschaltung bei Gefahr von Eisabwurf im laufenden Betrieb. Das System zur Eiserkennung ist entsprechend der Richtlinie des Germanischen Lloyd für die Zertifizierung von Systemen zur Zustandsüberwachung von Windenergieanlagen /3.6/ typgeprüft /3.7/.

3.5.3 Systeme zur Prävention und Enteisung

Die betrachteten WEA sind nicht mit einem System zur Enteisung (de-icing) oder einem System zur Reduzierung von Vereisung (anti-icing) ausgestattet.

3.5.4 Betriebsführungssystem

Nach einer Abschaltung durch das Eiserkennungssystem geht die WEA in einen definierten Zustand. Angaben zu Trudeldrehzahlen, Blattstellung und



Windnachführung der WEA wurden gemäß /3.8/ umgesetzt.

3.6 Risikoreduzierende Maßnahmen

Die in den Anhängen B und C dargestellten Ergebnisse berücksichtigen keine risikoreduzierenden Maßnahmen.

4 Durchgeführte Untersuchungen

4.1 Standortbesichtigung

Eine Standortbesichtigung ist im Rahmen der Bewertung des Risikos durch Eiswurf, Eisfall und Bauteilversagen nicht durch ein Regelwerk vorgeschrieben oder geregelt. Eine Standortbesichtigung empfiehlt sich, wenn die Situation vor Ort nicht ausreichend bekannt ist.

Im Rahmen der Standortbesichtigung werden die potentiellen Schutzobjekte vor Ort dokumentiert und besichtigt. Es werden Informationen zur Beschaffenheit der Schutzobjekte, wie z.B. Straßenbelag, Geschwindigkeitsbeschränkungen und Fahrverboten bei Verkehrswegen aufgenommen.

Die Standortbesichtigung dient nicht zur Bestimmung der Aufenthaltshäufigkeit von Personen in oder auf Schutzobjekten, der Bestimmung der Frequentierung von Verkehrswegen, der Bestimmung der Klimatologie des Standortes oder der Verifizierung der Windparkkonfiguration.

Die Schutzobjekte vor Ort wurden vom Auftraggeber festgelegt (siehe Kapitel 3.1). Aufgrund der vorhandenen Datenlage zu den Schutzobjekten wurde auf eine Standortbesichtigung verzichtet.

Werden im Rahmen der Standortbesichtigung weitere potentielle Schutzobjekte identifiziert, findet eine Berücksichtigung in Absprache mit dem Auftraggeber statt. Maßgeblich sind daher stets die in Kapitel 3.1 aufgeführten Schutzobjekte.

4.2 Vereisungsbedingungen am Standort

Die Vereisungshäufigkeit am Standort wurde entsprechend Kapitel 2.5 ermittelt.

Die Anzahl der insgesamt am Standort zu unterstellenden Eisstücke ergibt sich aus der Anzahl der Eisstücke pro Vereisungsereignis und der Anzahl der Vereisungstage.

Für die WEA ist konservativ davon auszugehen, dass es an allen Vereisungstagen zu einer vollständigen Vereisung der WEA kommt.



In Übereinstimmung mit /2.1/ kann die insgesamt zu berücksichtigende Eismasse abhängig von der Blattgeometrie anhand des Vereisungslastfalles der internationalen Richtlinie für WEA /2.4/ definiert werden. Unter Berücksichtigung der durchschnittlichen Masse der Eisstücke lässt sich daraus eine Anzahl Eisstücke pro Vereisung ableiten.

Damit ergeben sich am Standort Krinitz Steesow IV die in Tabelle 4.2.1 dargestellten Vereisungsbedingungen.

Tabelle 4.2.1: Vereisungsbedingungen am Standort Krinitz Steesow IV .

Lfd. Nr. WEA	Vereisungs- häufigkeit [%]	Vereisungstage pro Jahr	Eisstücke pro Jahr pro WEA	
			Eisfall	Eiswurf
19 - 29	1.8	6.4	1251	3753

4.3 Ermittlung der Gefährdungsbereiche

Gemäß Kapitel 2.2 und 2.3 ergeben sich für die einzelnen WEA die in Tabelle 4.3.1 aufgeführten zu betrachtenden Schutzobjekte für Bauteilversagen und Eiswurf/Eisfall.

Tabelle 4.3.1: Zu betrachtende Schutzobjekte.

Lfd.Nr. WEA	Schutzobjekte im potentiellen Gefährdungsbereich	Gefährdung durch			
		Eiswurf/ Eisfall	Blatt- bruch	Turmfall	Gondel- verlust
19	Gemeindeverbindungsstraße Nord	X	X	X	---
20	Gemeindeverbindungsstraße Nord	X	X	X	---
21	Gemeindeverbindungsstraße Nord	X	X	X	X
22	Gemeindeverbindungsstraße Nord	X	X	---	---
23	Gemeindeverbindungsstraße Süd	X	X	---	---
24	Gemeindeverbindungsstraße Süd	X	X	X	---
25	Gemeindeverbindungsstraße Süd	X	X	---	---
26	---	---			
27	---	---			
28	---	---			
29	---	---			

Im potentiellen Gefährdungsbereich der WEA 26 - 29 befinden sich keine der defi-



nierten Schutzobjekte. Eine weitere Berücksichtigung dieser WEA ist im Rahmen der Risikobewertung daher nicht erforderlich.

Bei den WEA 1 - 18 handelt es sich um benachbarte WEA, deren Gefährdung im Rahmen dieses Gutachtens nicht zu bewerten ist.

Wenn entlang eines Weges mit regionalem Charakter die Gefährdungsbereiche der geplanten und der benachbarte WEA passiert werden (siehe Kapitel 2.8.6), wird das Risiko der betreffenden benachbarten WEA entsprechend berücksichtigt.

4.4 Betrachtung der Einzelrisiken

Aus der in Kapitel 4.2 ermittelten Gesamtanzahl von Eisstücken, der Windgeschwindigkeitsverteilung gemäß Tabelle 3.2.1, der Geometrie und Betriebsweise der WEA sowie der Topografie am Standort, ergeben sich in der Umgebung einer WEA für jeden Punkt unterschiedliche Trefferhäufigkeiten von Eisstücken. Hinzu kommen die Trefferhäufigkeiten durch Bauteilversagen. Auf Basis dieser Trefferhäufigkeiten ist die spezifische Gefährdung von Personen abhängig von der Wegstrecke, den die Personen bzw. die mit Personen besetzten Fahrzeuge in der Umgebung der WEA nehmen, der Geschwindigkeit, mit der sie sich fortbewegen sowie der Häufigkeit, mit der ein bestimmter Weg genommen wird. Verkehrswege und andere Freiflächen bzw. Gebäude, die keinen Schutz gegen Eisstücke bieten, unterscheiden sich beim Risiko durch Eiswurf oder Eisfall nur dahingehend, dass die Wegstrecke bei Verkehrswegen deutlich vorgegeben ist, während sie bei Freiflächen typischerweise durch eine allgemeine Aufenthaltshäufigkeit ersetzt wird.

Eine spezifische Gefährdung lässt sich daher nicht in Form einer Gefährdungskarte in der Umgebung einer WEA darstellen, da für jeden Punkt in der Umgebung einer WEA theoretisch unendlich viele Szenarien denkbar sind. Die Gefährdung ist daher stets in Bezug zu einem Schutzobjekt unter Berücksichtigung der genannten Randbedingungen zu ermitteln.

4.4.1 Bauteilversagen

Ein Risiko durch Bauteilversagen ist stets entsprechend der in Kapitel 2.3 aufgeführten Eintrittshäufigkeiten zu unterstellen.

Details zu den Berechnungen sind im Anhang A dargestellt.



4.4.2 Eiswurf

Die WEA 22, 23 und 25 sind nicht mit einem System zur Eiserkennung ausgerüstet. Für diese WEA ist daher eine Gefährdung durch Eiswurf standortspezifisch zu betrachten.

Details zu den Berechnungen sind im Anhang B dargestellt.

4.4.3 Eisfall

Eine Gefährdung durch Eisfall für Personen in der Umgebung der WEA 19 – 21 und 24 ist standortspezifisch zu betrachten, auch wenn eines der in Kapitel 3.5 genannten Systeme zur Eiserkennung zu diesem Zweck genutzt wird.

Entsprechend Kapitel 2.2 besteht auch bei vorhandener funktionssicherer Eiserkennung stets ein Risiko durch Eisfall in der Umgebung einer WEA. Dieses Risiko ist daher standortspezifisch zu bewerten.

Details zu den Berechnungen sind im Anhang C dargestellt.

4.5 Bewertung des Gesamtrisikos

Mit den Detailergebnissen für Eiswurf/Eisfall und Bauteilversagen ergeben sich am Standort Krinitz Steesow IV die in Tabelle 4.5.1 dargestellten Gesamtrisiken.

Wie in Kapitel 2.8 dargestellt, erfolgt die Bewertung des individuellen und kollektiven Risikos durch eine Einteilung in fünf Bereiche von inakzeptabel bis vernachlässigbar. Dabei werden Schutzobjekte, die in den Berechnungen nicht von Eisstücken oder durch Bauteilversagen getroffen werden, aber im potentiellen Gefährdungsbereich liegen, dem vernachlässigbaren Risiko zugeordnet.

Es ist in Tabelle 4.5.1 jeweils nur das in Abhängigkeit von der Aufenthaltshäufigkeit von Personen zu betrachtende Risiko dargestellt (siehe Kapitel 2.8).

Sind gemäß Kapitel 2.8.6 Risiken verschiedener WEA zu addieren, wird die Bewertung der addierten Risiken in Tabelle 4.5.1 gesondert aufgeführt.

Sind für die Bewertung des Risikos durch Bauteilversagen und durch Eisfall/Eiswurf unterschiedliche Grenzwerte anzusetzen (siehe Kapitel 2.8.3), erfolgt die Bewertung getrennt. Dargestellt wird in Tabelle 4.2.1 in diesen Fällen die Bewertung für das führende, größere Risiko.



Tabelle 4.5.1: Bewertung der Gefährdung durch Eis und Bauteilversagen am Standort Krinitz Steesow IV.

Lfd. Nr. WEA	Schutzobjekt	Kollektives Personenrisiko	Individuelles Personenrisiko
Bewertung der einzelnen WEA:			
19	Gemeindeverbindungsstraße Nord	---	allgemein akzeptabel
20	Gemeindeverbindungsstraße Nord	---	allgemein akzeptabel
21	Gemeindeverbindungsstraße Nord	---	tolerierbar - Maßnahmen in der Regel nicht erforderlich
22	Gemeindeverbindungsstraße Nord	---	vernachlässigbar
23	Gemeindeverbindungsstraße Süd	---	vernachlässigbar*
24	Gemeindeverbindungsstraße Süd	---	vernachlässigbar
25	Gemeindeverbindungsstraße Süd	---	vernachlässigbar
Bewertung addierter Risiken:			
19 -22	Gemeindeverbindungsstraße Nord	---	tolerierbar

*: Die Ergebnisse zeigen, dass das Schutzobjekt in den Berechnungen nicht von Eis- oder Blattbruchstücken der WEA getroffen wird.

Da die Risiken der geplanten WEA 21 die Grenzwerte nicht deutlich unterschreiten, wurde zusätzlich die Summe der Risiken entlang der Gemeindeverbindungsstraße Nord betrachtet (siehe auch Kapitel 2.3.5). Die Summe der Risiken übersteigt die anzusetzenden Grenzwerte in diesem Bereich nicht.



5 Weitere Maßnahmen

Liegt das Risiko im unteren gelben ALARP-Bereich können im Einzelfall risikomindernde Maßnahmen empfohlen werden.

Die ermittelten Risikowerte am Standort Krinitz Steesow IV liegen im unteren ALARP-Bereich und wir empfehlen für die Gemeindeverbindungsstraße Nord in der Umgebung der WEA 21 das Aufstellen von Warnschildern, die die Öffentlichkeit vor einer erhöhten Gefahr durch Eiswurf und Eisfall von Windenergieanlagen warnen.

6 Zusammenfassung

Die Fluid & Energy Engineering GmbH & Co. KG ist beauftragt worden, die vorliegende Windparkkonfiguration hinsichtlich einer Gefährdung durch Eiswurf/Eisfall und Bauteilversagen sowie durch Bauteilversagen ausgehend von den stillstehenden (trudelnden) bzw. in Betrieb befindlichen WEA zu betrachten und zu bewerten.

Im Folgenden werden die Ergebnisse der Risikoanalyse der WEA 19 - 29 hinsichtlich einer Gefährdung durch Eiswurf/Eisfall und Bauteilversagen zusammen gefasst.

Als Schutzobjekte wurden zwei Gemeindeverbindungsstraßen in der Nachbarschaft der WEA definiert.

Eine mögliche Ursache für ein Umstürzen der WEA, einen Absturz des Rotors, einen Absturz der Gondel oder den Verlust des ganzen bzw. Teilen eines Rotorblattes ist ein Brand der WEA. Das durch einen Brand hierdurch verursachte Risiko ist daher in der Risikobetrachtung für das Bauteilversagen enthalten und mit abgedeckt.

Die abschließende Bewertung des Gesamtrisikos ist in Tabelle 6.1 für alle zu bewertenden und zu berücksichtigenden WEA aus Tabelle 3.3.1 bezüglich der relevanten Schutzobjekte dargestellt.

Maßnahmen, die in den Berechnungen berücksichtigt wurden und entsprechend für die getroffene Aussage unabdingbar sind, werden in der Tabelle 6.1 in den Randbedingungen dargestellt.

Maßnahmen, die zur Verringerung des Risikos umgesetzt werden sollten, werden in Tabelle 6.1 in der Spalte „Maßnahmen zur Risikoreduzierung“ aufgeführt. Eine genauere Erläuterung der Maßnahmen erfolgt in Kapitel 5.



Tabelle 6.1: Übersicht über die Bewertung des Gesamtrisikos (Risikogrenzwert: - = überschritten, + = noch tolerierbar, ++ = tolerierbar, +++ = allgemein akzeptabel, ≈ 0 = vernachlässigbar).

Lfd. Nr. WEA	Randbedingungen der Berechnung					Ergebnisse		
	Eiserkennungssystem			Azimutwinkel nach Abschaltung	Anti- / De-Icing	Schutzobjekt	Bewertung Personenrisiko	Maßnahmen zur Risikoreduzierung (Kapitel 5)
	aktiv	Windrichtungs- sektor	Anteil Eiswurf					
Szenario Eisfall (Eiserkennungssystem aktiv)								
19	ja	0 – 360°	0%	---	---	Gemeindeverbindungsstraße Nord	+++	---
20	ja	0 – 360°	0%	---	---	Gemeindeverbindungsstraße Nord	+++	---
21	ja	0 – 360°	0%	---	---	Gemeindeverbindungsstraße Nord	++	Warnschilder
24	ja	0 – 360°	0%	---	---	Gemeindeverbindungsstraße Süd	≈ 0	---
Szenario Eiswurf (kein Eiserkennungssystem im Einsatz)								
22	nein	0 – 360°	100%	---	---	Gemeindeverbindungsstraße Nord	≈ 0	---
23	nein	0 – 360°	100%	---	---	Gemeindeverbindungsstraße Süd	≈ 0	---
25	nein	0 – 360°	100%	---	---	Gemeindeverbindungsstraße Süd	≈ 0	---



Lfd. Nr. WEA	Randbedingungen der Berechnung				Ergebnisse			
	Eiserkennungssystem			Azimutwinkel nach Abschaltung	Anti- / De-Icing	Schutzobjekt	Bewertung Personenrisiko	Maßnahmen zur Risikoreduzierung (Kapitel 5)
	aktiv	Windrichtungs- sektor	Anteil Eiswurf					
26				---				Kein Schutzobjekt im potentiellen Gefährdungsbereich
27				---				Kein Schutzobjekt im potentiellen Gefährdungsbereich
28				---				Kein Schutzobjekt im potentiellen Gefährdungsbereich
29				---				Kein Schutzobjekt im potentiellen Gefährdungsbereich



7 Formelzeichen und Abkürzungen

WEA	Windenergieanlage	
RD	Rotordurchmesser	
NH	Nabenhöhe	
ETRS89	Europäisches Terrestrisches Referenzsystem 1989	
UTM	Universale Transversale Mercator Projektion	
WGS84	World Geodetic System 1984	
ü. NN	über Normalnull	
MEM	Minimale endogen Sterblichkeit	
Kfz	Kraftfahrzeug	
A	Skalierungsparameter der Weibull-Verteilung	[m/s]
k	Formparameter der Weibullverteilung	[-]
v	Windgeschwindigkeit	[m/s]
h	Höhe	[m]
Θ	Azimutwinkel	[°]

8 Literaturangaben

Allgemein

- /1.1/ Bengt Tammelin et. al.; Wind Energy Production in Cold climates; Meteorological publications No.41, Finnish Meteorological Institute, Helsinki, Finland, February 2000.
- /1.2/ International Energy Agency (IEA), IEA Wind Task 19, State-of-the-Art of Wind Energy in Cold Climates, Edition October 2012.
- /1.3/ Berichte der Bundesanstalt für Straßenwesen; Verkehrstechnik Heft V 291, Fahrleistungserhebung 2014 – Inlandsfahrleistung und Unfallrisiko; Bergisch Gladbach, August 2017.
- /1.4/ OpenStreetMap und Mitwirkende; siehe Internet: <http://www.openstreetmap.org>, <http://opendatacommons.org>, <http://creativecommons.org>.
- /1.5/ Jarvis A., H.I. Reuter, A. Nelson, E. Guevara, 2006, Hole-filled seamless SRTM data V3, International Centre for Tropical Agriculture (CIAT).
- /1.6/ Bundesministerium für Verkehr, Bau und Stadtentwicklung; Mobilität in Deutschland 2008; Ergebnisbericht, Struktur – Aufkommen – Emissionen – Trends; Bonn und Berlin, Februar 2010.
- /1.7/ Schneider J., Schlatter H. P.; Sicherheit und Zuverlässigkeit im Bauwesen - Grundwissen für Ingenieure; 1. Auflage, B. G. Teubner, Stuttgart, 1994.



- /1.8/ Wichura, B., 2013. The Spatial Distribution of Icing in Germany Estimated by the Analysis of Weather Station Data and of Direct Measurements of Icing, Proceedings of the 15th International Workshop On Atmospheric Icing Of Structures (IWAIS 2013). Compusult Ltd., St. John's, Newfoundland and Labrador, September 8-11, 2013, pp. 303-309.
- /1.9/ HSE, Health and safety Executive. (n.d.); Risk analyses or 'predictive' aspects of comah safety reports guidance for explosives sites - The COMAH Safety Report Process for Predictive Assessment of Explosives Sites, downloaded 2014-08-21; Retrieved from <http://www.hse.gov.uk/comah/>
- /1.10/ Bredesen, R. E.; Kjeller Vindteknikk AS; Icethrow from wind turbines - Assessment and risk management; IEA Wind Task 19, Präsentation bei der Winterwind International Wind Energy Conference, Åre 2017.
- /1.11/ C. J. Faasen, P. A. L. Franck, A. M. H. W. Taris; Handboek Risicozonering Windturbines, Eindversie, 3e geactualiseerde versie mei 2013, en Herziene versie 3.1 september 2014; Nederland.
- /1.12/ T. Hahm, J. Kröning; Rotorblattversagen – Gefährdungsanalyse für die Umgebung von Windenergieanlagen; 6. Deutsche Windenergie-Konferenz DEWEK 2002.
- /1.13/ J. Kesenheimer; Grundlagenforschung zur Restnutzungsdauer von Windenergieanlagen; Technische Universität Hamburg-Harburg, April 2003.
- /1.14/ Oliver J., Creighton P.; Road Accidents, Bicycle injuries and helmet use: a systematic review and meta-analysis; International Journal of Epidemiology, 2017, 278-292.
- /1.15/ Udo Bauch; Zuganglück von Eschede überlebt: Mein schwerer Weg zurück ins Leben. Ein Opfer berichtet über seine Erfahrungen; 2013, BoD - Books on Demand.
- /1.16/ Dirk Proske; Katalog der Risiken, 3. vollständig überarbeitete Auflage; Würenlingen 2021.

Normen

- /2.1/ International Energy Agency (IEA), IEA Wind TCP Task 19; Technical Report; International Recommendations for Ice Fall and Ice Throw Risk Assessments; April 2022.
- /2.2/ Deutsches Institut für Bautechnik (DIBt), Muster-Verwaltungsvorschrift Technische Baubestimmungen (MVV TB) Ausgabe 2020/1; Berlin, 19.01.2021.
- /2.3/ DIN EN 50126; Bahnanwendungen – Spezifikation und Nachweis der Zuverlässigkeit, Verfügbarkeit, Instandhaltbarkeit und Sicherheit (RAMS); Deutsches Institut für Normung e.V., März 2000.
- /2.4/ International Electrotechnical Commission (IEC); IEC 61400-1, Wind energy generation systems - Part 1: Design requirements; Edition 4, 2019-12; Geneva, Switzerland (Deutsche Fassung: Deutsches Institut für Normung e.V.; DIN EN IEC 61400-1 (VDE 0127-1); Windenergieanlagen – Teil 1: Auslegungsanforderungen (IEC 61400-1:2019); Dezember 2019; Berlin, Deutschland).
- /2.5/ DNV GL AS; Certification of condition monitoring, DNVGL-SE-0439:2016-06; June 2016.
- /2.6/ DIN EN ISO 16708; Erdöl- und Erdgasindustrie - Rohrleitungstransportsysteme - Zuverlässigkeitsanalysen (ISO 16708:2006); Englische Fassung EN ISO 16708:2006; Deutsches Institut



für Normung e.V., August 2006.

- /2.7/ ISO 13623; Petroleum and natural gas industries - Pipeline transportation systems; ISO 13623:2000(E), International Organization for Standardization, Geneva, Switzerland.
- /2.8/ International Electrotechnical Commission (IEC); Wind energy generation systems – Part 31: Siting Risk Assessment; IEC TS 61400-31 ED1, Committee Draft (CD), 2022-04-29.

Projektspezifisch

- /3.1/ Winddaten zum Standort Krinitz Steesow; als Datei 'UL_WeibullSectorwise Krinitz Steesow.xlsx' per E-Mail vom Auftraggeber am 03.02.2023.
- /3.2/ anemos Gesellschaft für Umweltmeteorologie mbH; anemos Windatlas für Deutschland, <https://awis.anemos.de/>, Winddaten zum Standort Krinitz Steesow heruntergeladen am 20.01.2022.
- /3.3/ Email vom Auftraggeber vom 01.02.2022.
- /3.4/ Vestas Wind Systems A/S; Allgemeine Spezifikation Vestas Eiserkennungssystem (VID) - V105/V112/V117/V126/V136-3.45/3.6MW 50/60Hz V117/V136/V150 - 4.0/4.2MW 50/60Hz V150 – 5.6/6.0MW 50/60Hz V162 – 5.6/6.0/6.2MW 50/60Hz V162/V172 – 7.2MW 50/60 Hz; Dokumentenr. : 0049-7921 V15; 13.10.2022.
- /3.5/ DNV-GL; Gutachten Vestas Ice Detection System (VID); Integration des BLADEcontrol Ice Detector BID in die Steuerung von Vestas Windenergieanlagen; Report Nr.: 75172, Rev. 6, 18.10.2021.
- /3.6/ DNV AS; Certification of condition monitoring, DNV-SE-0439:2021-10; October 2021
- /3.7/ DNV Renewables Certification; Typenzertifikat; Rotorblatt-Überwachungssystem Vestas Eisdetektor (VID); Zertifikat Nr. TC-DNV-SE-0439-09298-0; Hamburg, 20.10.2022.
- /3.8/ Vestas Wind Systems A/S; RPM Curves EnVentus™ V162-6.2 MW 50/60 Hz; Restricted Document no.: 0107-7278, V00; Aarhus, Denmark, 2021-06-28.



Anhang A: Detaillierte Berechnungsergebnisse Bauteilversagen

A.1 Berechnung der Auftreffhäufigkeiten von Blattbruchstücken

In der Abbildung A.1.1 sind die daraus für die Umgebung der WEA resultierenden Auftreffhäufigkeiten pro Rasterfläche (25m²) und Jahr dargestellt. Erkennbar sind die größeren Auftreffhäufigkeiten quer zur Hauptwindrichtung.

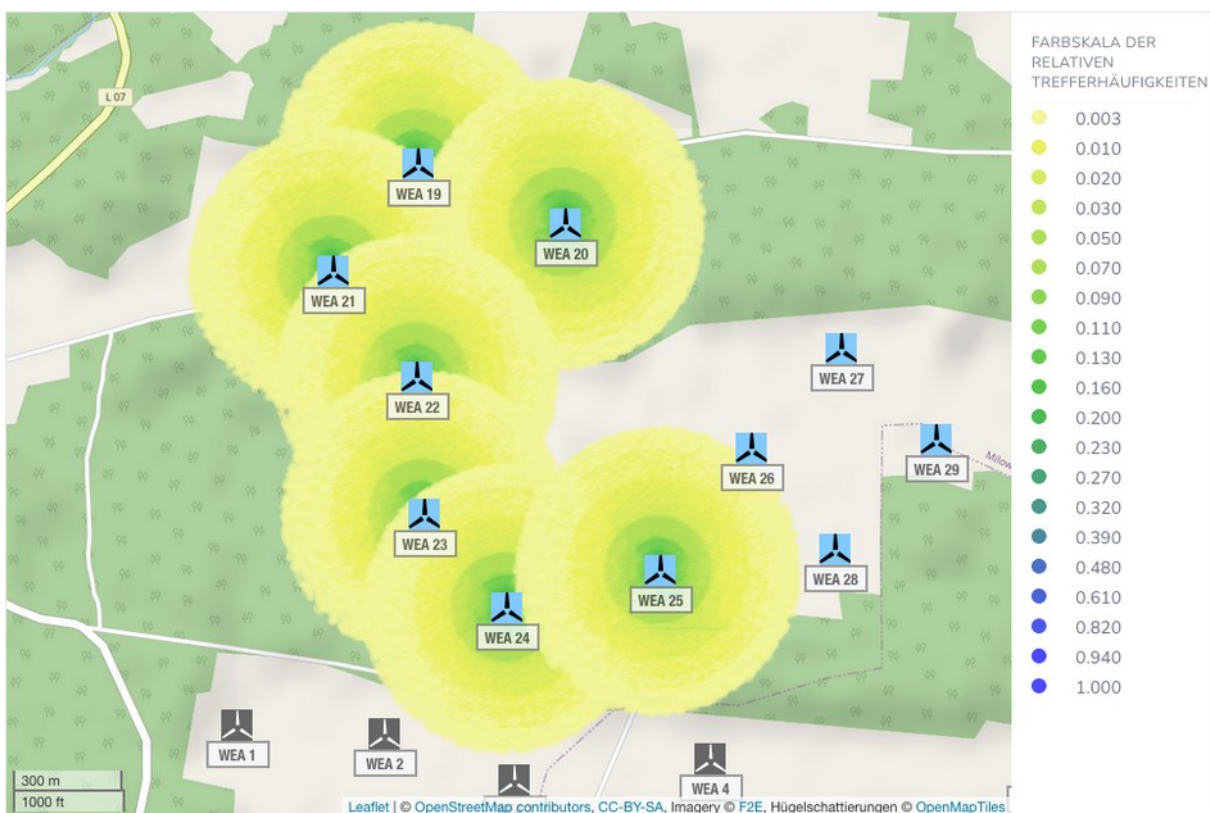


Abbildung A.1.1: Trefferhäufigkeiten von Blattbruchstücken pro Rasterfläche (25m²) in einer Millionen Jahren in der Umgebung der WEA 19 -25 am Standort Krinitz Steesow IV (Karte /1.4/).

Tabelle A.1.1 listet die maximal erreichte Flugweite der Bruchstücke bezogen auf den Fußpunkt der WEA auf.

Tabelle A.1.1: Maximale Flugweite der betrachteten Blattbruchstücke am Standort Krinitz Steesow IV.

Lfd. Nr. WEA	Maximale Flugweite [m]
19	391.9
20	396.3



Lfd. Nr. WEA	Maximale Flugweite [m]
21	393.2
22	394.2
23	393.2
24	394.3
25	394.9

A.2 Schadenshäufigkeiten

Eine Gefährdung durch Blattbruch, Turmversagen oder Verlust der Gondel bzw. des Rotors ist gemäß Kapitel 4.3 zu unterstellen. Es ergeben sich die in Tabelle A.2.1 aufgelisteten Unfallhäufigkeiten bzw. Risiken.

Für die Bewertung von Personenschäden wird davon ausgegangen, dass jedes Kfz im Mittel mit 1.5 Personen besetzt ist. Dies entspricht der durchschnittlichen Besetzungszahl von Pkw in Deutschland /1.6/.

In Tabelle A.2.1 ist jeweils nur das in Abhängigkeit von der Aufenthaltshäufigkeit von Personen zu betrachtende Risiko dargestellt.

Treten in Tabelle A.2.1 relevante Überschreitungen der Risikogrenzwerte gemäß Tabelle 2.8.4.1 auf oder enthält sie Werte, die eventuell weitere Maßnahmen erfordern, so sind diese kursiv gedruckt.



Tabelle A.2.1: Kollektive und individuelle Risiken für Personenschäden am Standort Krinitz Steesow IV durch Bauteilversagen.

Lfd. Nr. WEA	Schutzobjekt	Auftrittshäufigkeit pro Jahr				Kollektives Personenrisiko	Individuelles Personenrisiko
		Blattbruch	Turm- versagen	Verlust von Gondel oder Rotor	Tote pro Ereignis *		
Risiken pro WEA:							
19	Gemeindeverbindungsstraße Nord	$7.97 \cdot 10^{-6}$	$1.26 \cdot 10^{-5}$	---	---	---	$3.82 \cdot 10^{-9}$ (einmal in 261 Mio. Jahren)
20	Gemeindeverbindungsstraße Nord	$8.15 \cdot 10^{-6}$	$3.03 \cdot 10^{-5}$	---	---	---	$8.24 \cdot 10^{-9}$ (einmal in 121 Mio. Jahren)
21	Gemeindeverbindungsstraße Nord	$4.45 \cdot 10^{-5}$	$6.65 \cdot 10^{-5}$	$2.00 \cdot 10^{-5}$	---	---	$4.20 \cdot 10^{-8}$ (einmal in 23.8 Mio. Jahren)
22	Gemeindeverbindungsstraße Nord	$1.08 \cdot 10^{-6}$	---	---	---	---	$1.03 \cdot 10^{-10}$ (einmal in 9.7 Mrd. Jahren)
23	Gemeindeverbindungsstraße Süd	0	---	---	---	---	---
24	Gemeindeverbindungsstraße Süd	$4.21 \cdot 10^{-6}$	$4.23 \cdot 10^{-8}$	---	---	---	$3.48 \cdot 10^{-10}$ (einmal in 2.8 Mrd. Jahren)
25	Gemeindeverbindungsstraße Süd	$1.19 \cdot 10^{-7}$	---	---	---	---	$9.60 \cdot 10^{-12}$ (einmal in 104 Mrd. Jahren)



Lfd. Nr. WEA	Schutzobjekt	Auftrittshäufigkeit pro Jahr				Kollektives Personenrisiko	Individuelles Personenrisiko
		Blattbruch	Turm- versagen	Verlust von Gondel oder Rotor	Tote pro Ereignis *		
Addierte Risiken:							
19 - 22	Gemeindeverbindungsstraße Nord	$6.17 \cdot 10^{-5}$	$1.09 \cdot 10^{-4}$	$2.00 \cdot 10^{-5}$	---	---	$5.41 \cdot 10^{-8}$ (einmal in 18.4 Mio. Jahren)

*: Nur relevant für Ereignisse mit einer hohen Anzahl Todesfälle (siehe Kapitel 2.8.3). Angegeben wird dann das Maximum der Toten pro Ereignis aus den Schadensszenarien Blattbruch, Turmversagen und Verlust von Gondel oder Rotor.



Anhang B: Detaillierte Berechnungsergebnisse Eiswurf

B.1 Berechnung der Auftreffhäufigkeiten

In der Abbildung B.1.1 sind die für die Umgebung der WEA resultierenden Treffer pro 16 Quadratmeter und Jahr dargestellt.

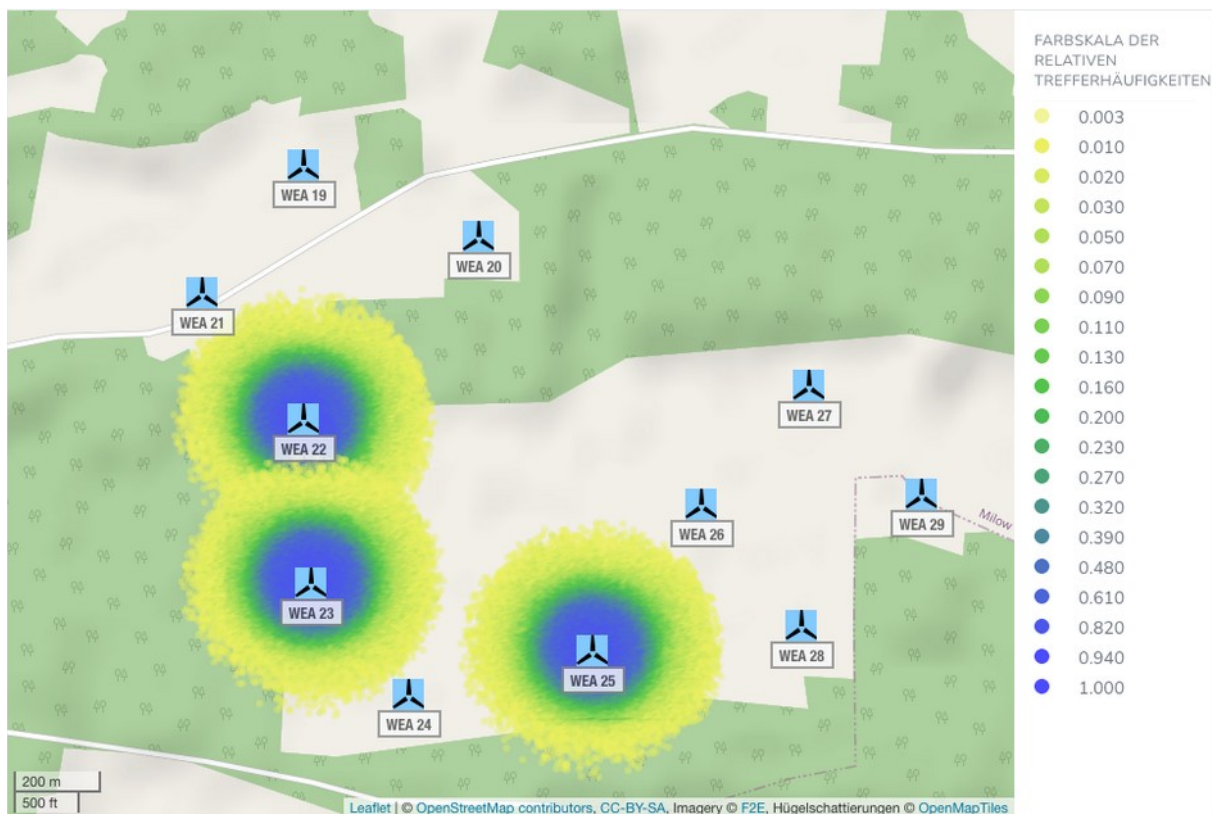


Abbildung B.1.1: Trefferhäufigkeiten von Eisstücken pro Rasterfläche (16m²) und Jahr in der Umgebung der WEA 22, 23, und 25 am Standort Krinitz Steesow IV (Karte /1.4/).

Tabelle B.1.1 listet die maximal erreichte Flugweite der Eisstücke bezogen auf den Fußpunkt der WEA auf.

Tabelle B.1.1: Maximale Flugweite der betrachteten Eisstücke am Standort Krinitz Steesow IV.

Lfd. Nr. WEA	Maximale Flugweite [m]
22	302.8
23	307.5
25	305.5



B.2 Schadenshäufigkeiten

Aus den ermittelten Flugbahnen ergeben sich für die Gefährdungsbereiche der zu bewertenden WEA gemäß Kapitel 4.3 die in Tabelle B.2.1 aufgeführten Ergebnisse.

Für die Bewertung von Personenschäden wird davon ausgegangen, dass jedes Kfz im Mittel mit 1.5 Personen besetzt ist. Dies entspricht der durchschnittlichen Besetzungszahl von Pkw in Deutschland /1.6/. Eine infolge eines Treffers durch Eis resultierende Verkettung von Unfällen wurde nicht betrachtet.

In Tabelle B.2.1 ist jeweils nur das in Abhängigkeit von der Aufenthaltshäufigkeit von Personen zu betrachtende Risiko dargestellt.

Treten in Tabelle B.2.1 relevante Überschreitungen der Risikogrenzwerte gemäß Tabelle 2.8.4.1 auf oder enthält sie Werte, die eventuell weitere Maßnahmen erfordern, so sind diese kursiv gedruckt.

Tabelle B.2.1: Kollektive und individuelle Risiken für Personenschäden am Standort Krinitz Steesow IV.

Lfd. Nr. WEA	Schutzobjekt	Anzahl Treffer pro Jahr	Kollektives Personenrisiko	Individuelles Personenrisiko
22	Gemeindeverbindungsstraße Nord	0.0	---	---
23	Gemeindeverbindungsstraße Süd	0.0	---	---
25	Gemeindeverbindungsstraße Süd	0.0	---	---



Anhang C: Detaillierte Berechnungsergebnisse Eisfall

C.1 Berechnung der Auftreffhäufigkeiten

In der Abbildung C.1.1 sind die für die Umgebung der WEA resultierenden Treffer pro 16 Quadratmeter und Jahr dargestellt.

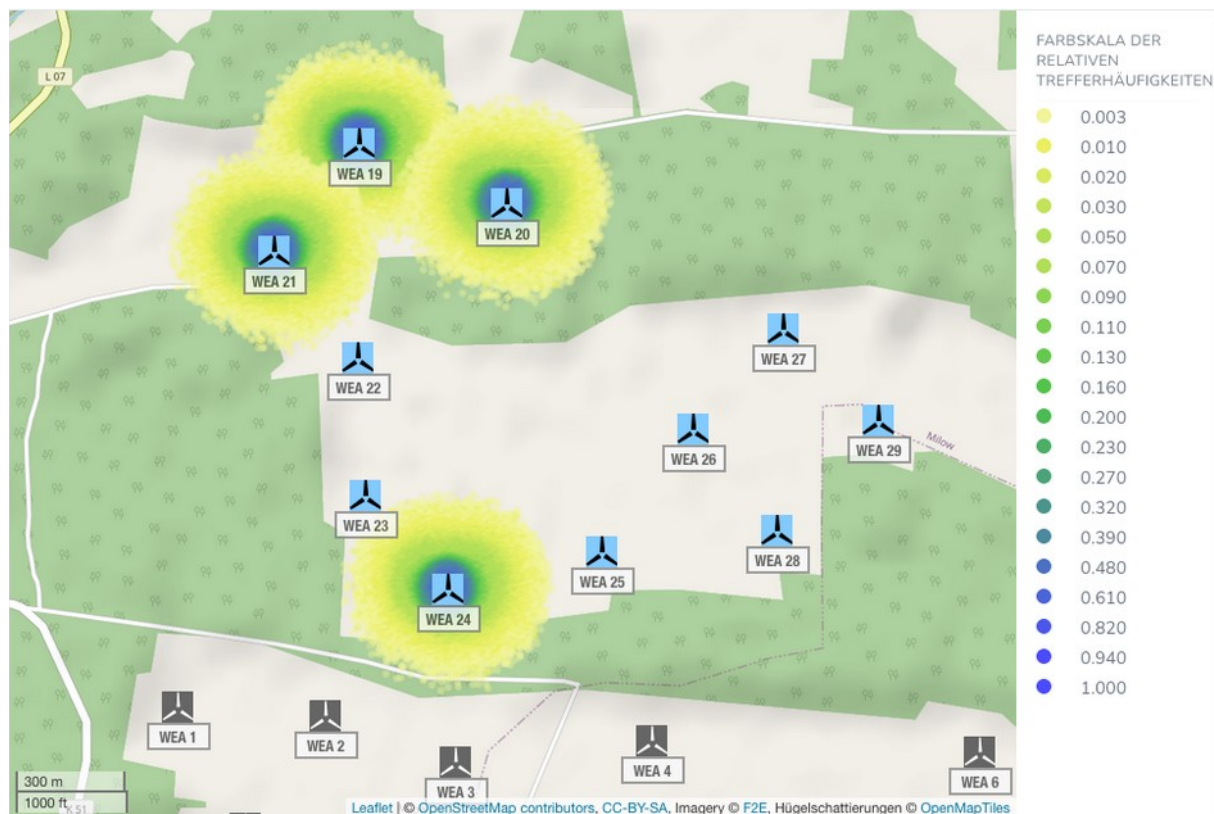


Abbildung C.1.1: Trefferhäufigkeiten von Eisstücken pro Rasterfläche (16m²) und Jahr in der Umgebung der WEA 19 – 21 und 24 am Standort Krinitz Steesow IV (Karte /1.4/).

Tabelle C.1.1 listet die maximal erreichte Flugweite der Eisstücke bezogen auf den Fußpunkt der WEA auf.

Tabelle C.1.1: Maximale Flugweite der betrachteten Eisstücke am Standort Krinitz Steesow IV.

Lfd. Nr. WEA	Maximale Flugweite [m]
19	289.4
20	300.0
21	292.5



Lfd. Nr. WEA	Maximale Flugweite [m]
24	290.0

C.2 Schadenshäufigkeiten

Aus den ermittelten Flugbahnen ergeben sich für die Gefährdungsbereiche der zu bewertenden WEA gemäß Kapitel 4.3 die in Tabelle B.2.1 aufgeführten Ergebnisse.

Für die Bewertung von Personenschäden wird davon ausgegangen, dass jedes Kfz im Mittel mit 1.5 Personen besetzt ist. Dies entspricht der durchschnittlichen Besetzungszahl von Pkw in Deutschland /1.6/. Eine Infolge eines Treffers durch Eis resultierende Verkettung von Unfällen wurde nicht betrachtet.

In Tabelle C.2.1 ist jeweils nur das in Abhängigkeit von der Aufenthaltshäufigkeit von Personen zu betrachtende Risiko dargestellt.

Treten in Tabelle C.2.1 relevante Überschreitungen der Risikogrenzwerte gemäß Tabelle 2.8.4.1 auf oder enthält sie Werte, die eventuell weitere Maßnahmen erfordern, so sind diese kursiv gedruckt.

Tabelle C.2.1: Kollektive und individuelle Risiken für Personenschäden am Standort Krinitz Steesow IV.

Lfd. Nr. WEA	Schutzobjekt	Anzahl Treffer pro Jahr	Kollektives Personenrisiko	Individuelles Personenrisiko
Risiken pro WEA:				
19	Gemeindeverbindungsstraße Nord	1.2	---	$2.48 \cdot 10^{-8}$ (einmal in 40.2 Mio. Jahren)
20	Gemeindeverbindungsstraße Nord	2.1	---	$4.17 \cdot 10^{-8}$ (einmal in 23.9 Mio. Jahren)
21	Gemeindeverbindungsstraße Nord	41.6	---	$8.41 \cdot 10^{-7}$ (einmal in 1.1 Mio. Jahren)
24	Gemeindeverbindungsstraße Süd	0.02	---	$2.99 \cdot 10^{-10}$ (einmal in 3.3 Mrd. Jahren)
Addierte Risiken:				
19 - 21	Gemeindeverbindungsstraße Nord	44.9	---	$9.08 \cdot 10^{-7}$ (einmal in 1.1 Mio. Jahren)